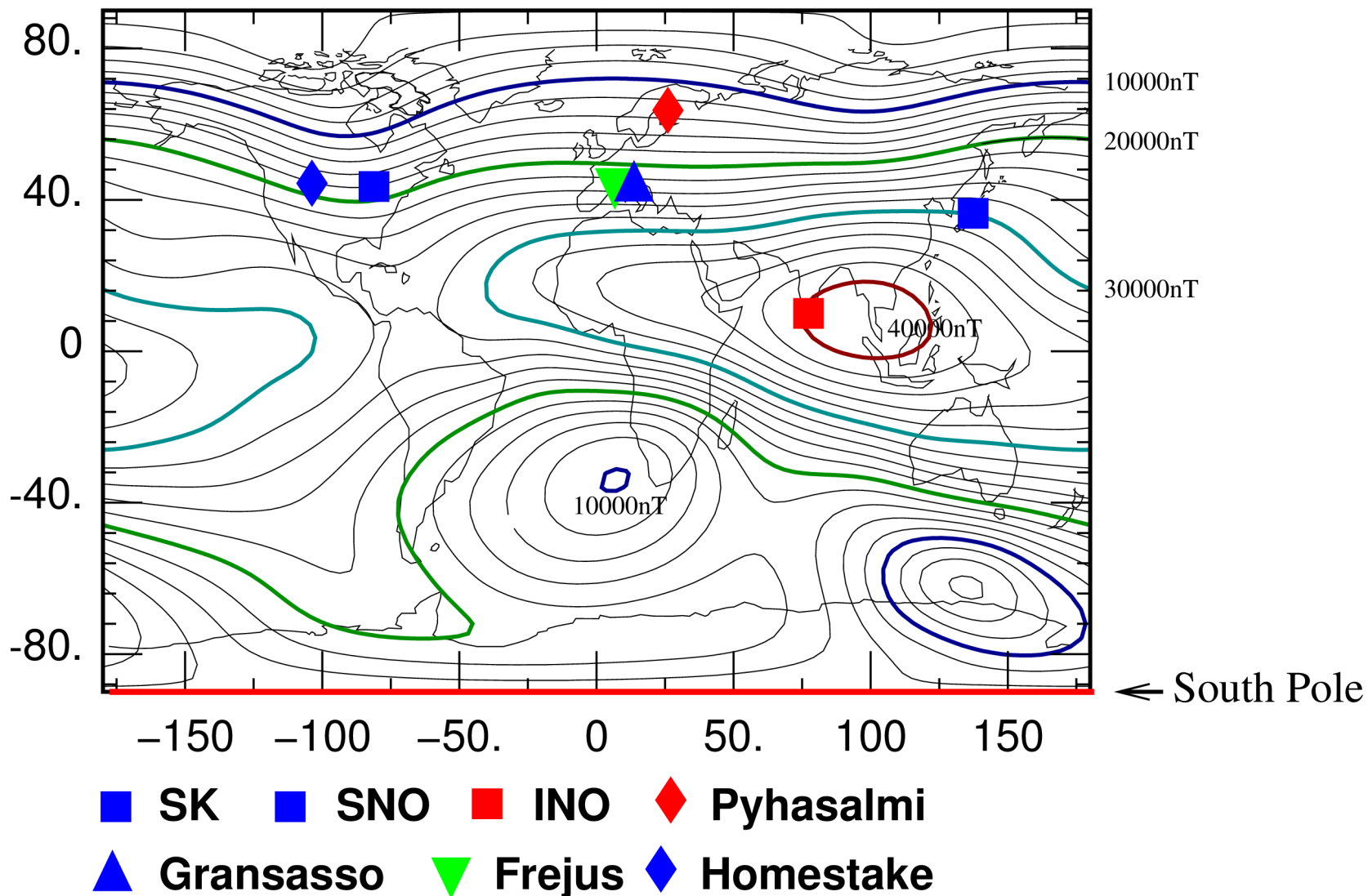


大気ニュートリノの精密計算

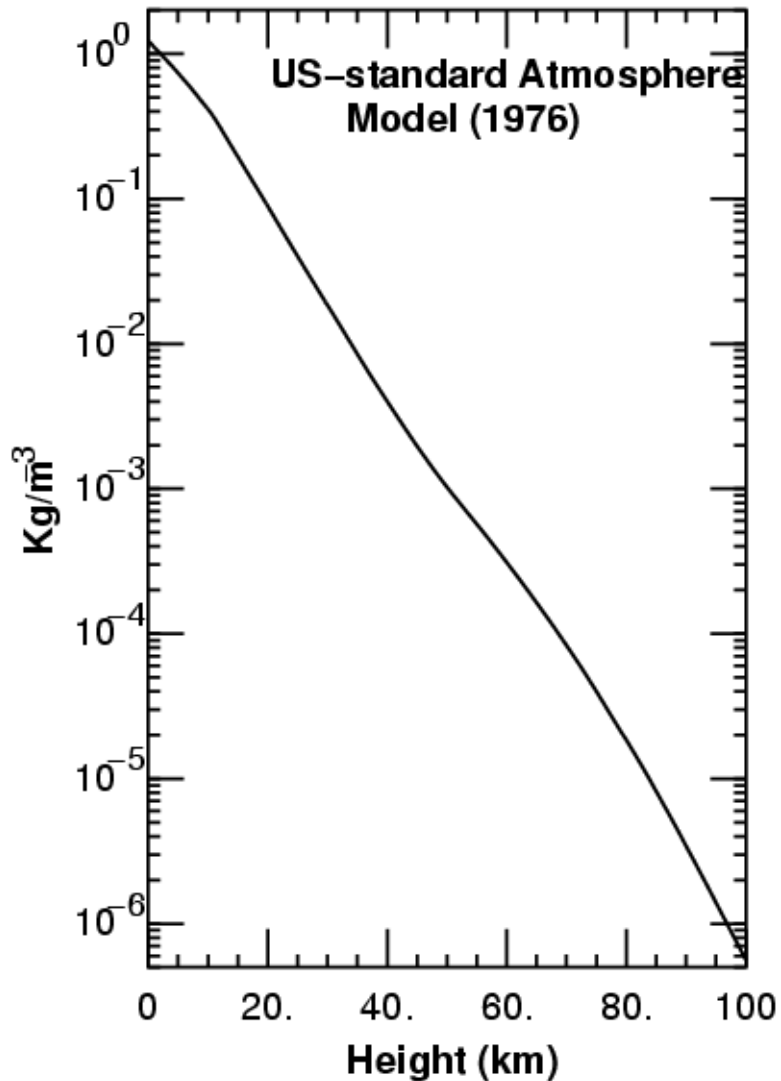
本田守広@共同利用成果発表会
(2015-12-19)

- 1, 大気モデルNRLMISSIE-00を用いた、神岡以外のサイトにおける大気ニュートリノフラックス計算 (HAKKM PRD2015)。
- 2, AMS02, BESS-polarなどの新しい宇宙線観測をとりいれた一次線モデルと、これまでの計算結果との比較(とりあえずの)。

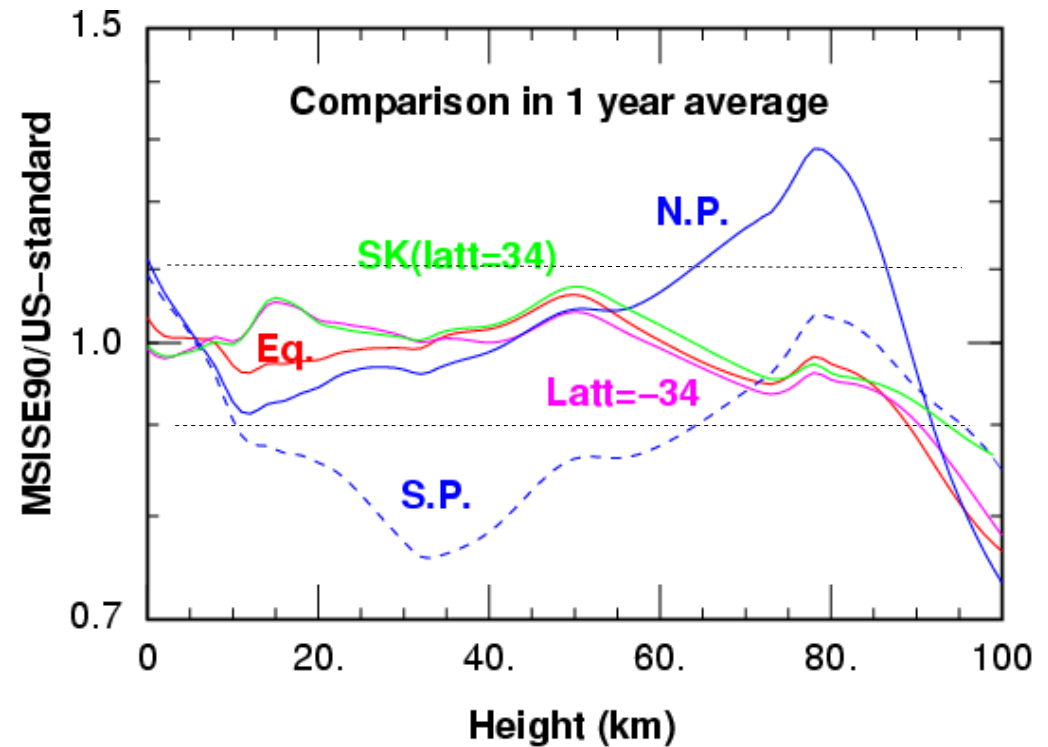
Horizontal component of Geomagnetic Field with IGRF10 and Atmospheric Neutrino Observing sites.



Atmosphere Model

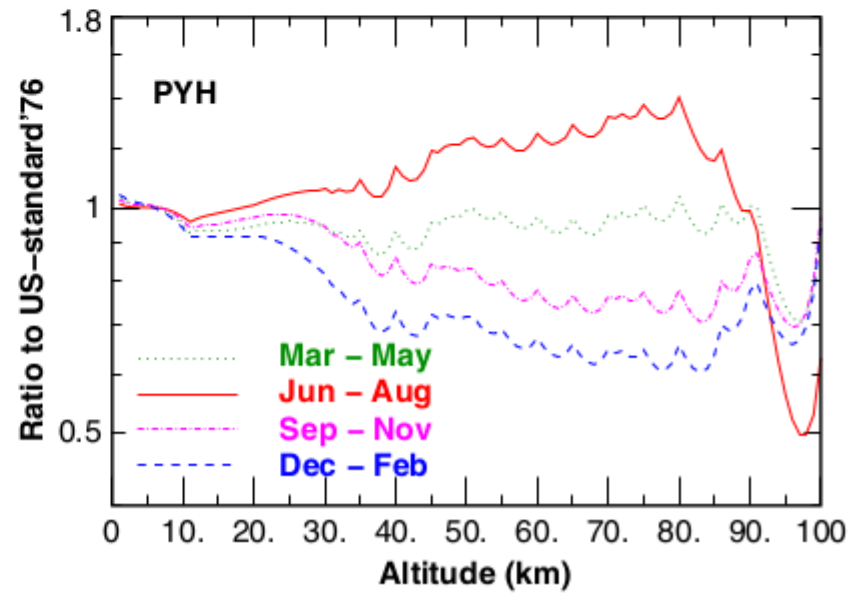
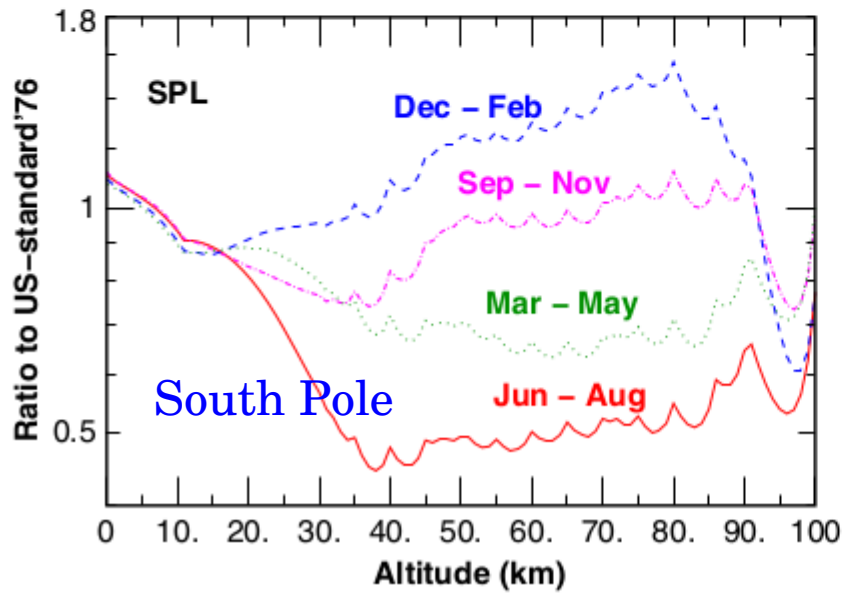
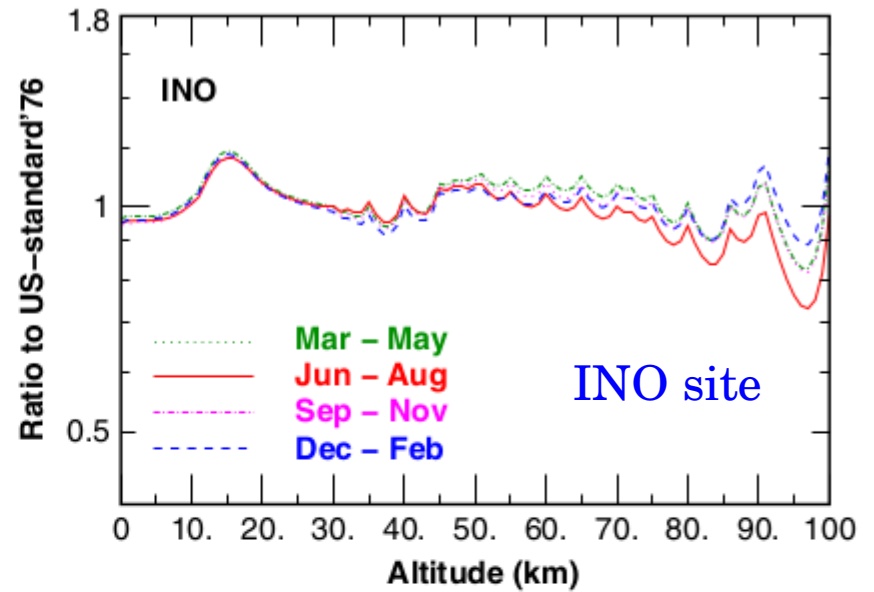
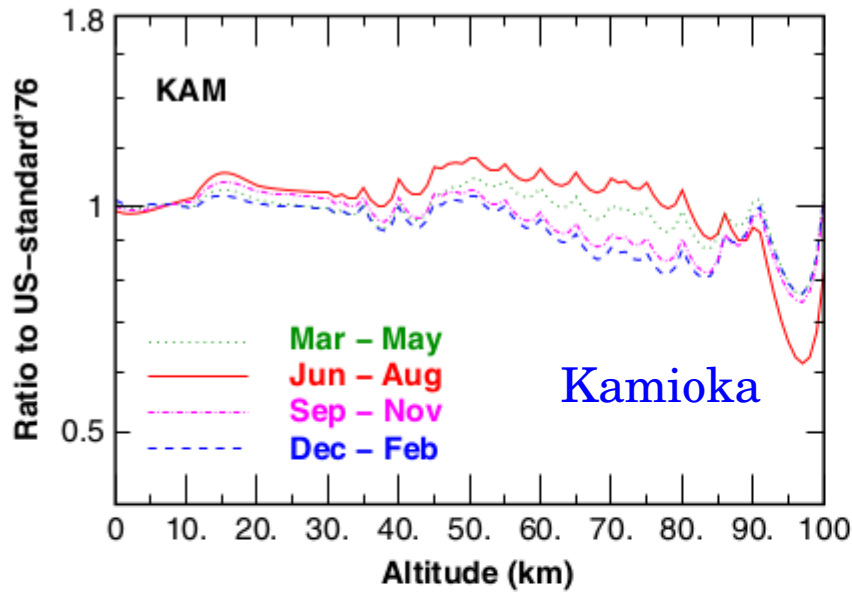


Air density comparison with MSISE90

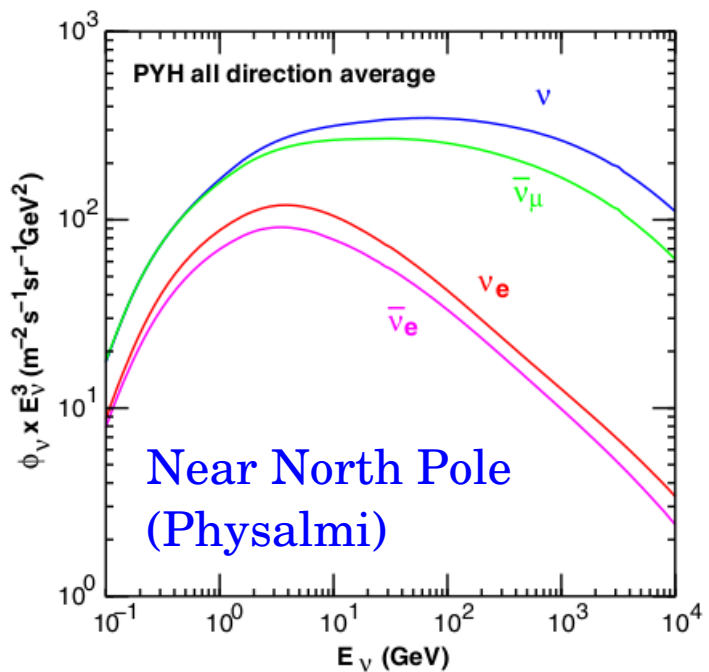
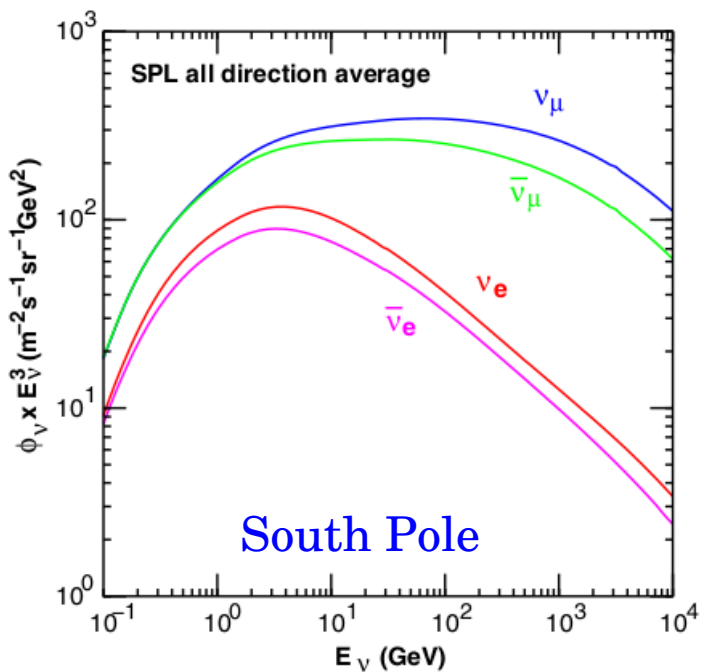
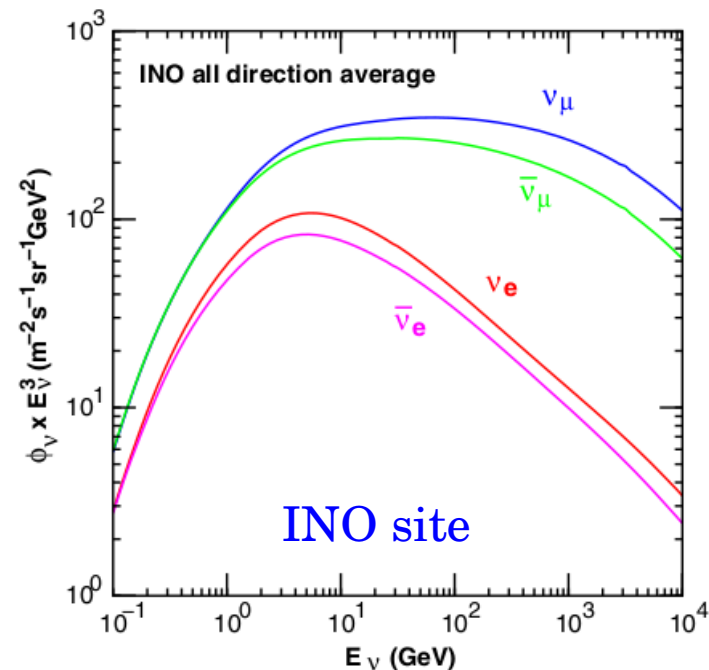
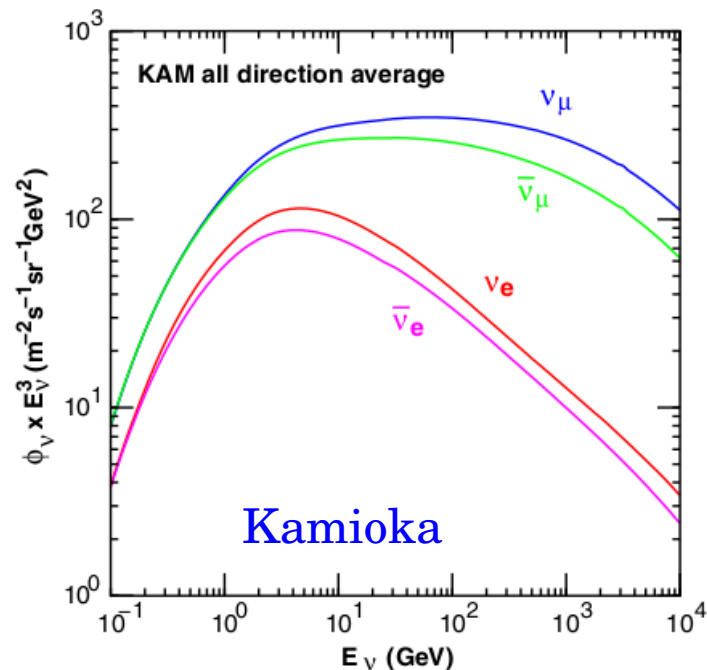


US-standard'76 may be used as the global approximation of the Atmosphere.

Atmosphere model (NRLMSISE-00) and seasonal variations

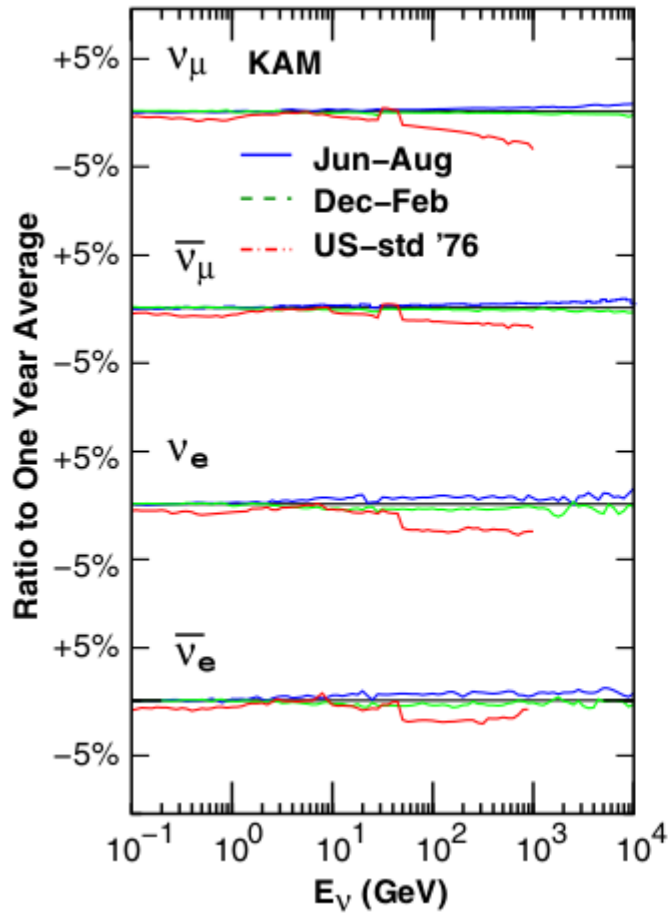


Calculated Atmospheric Neutrino Flux averaged over all directions

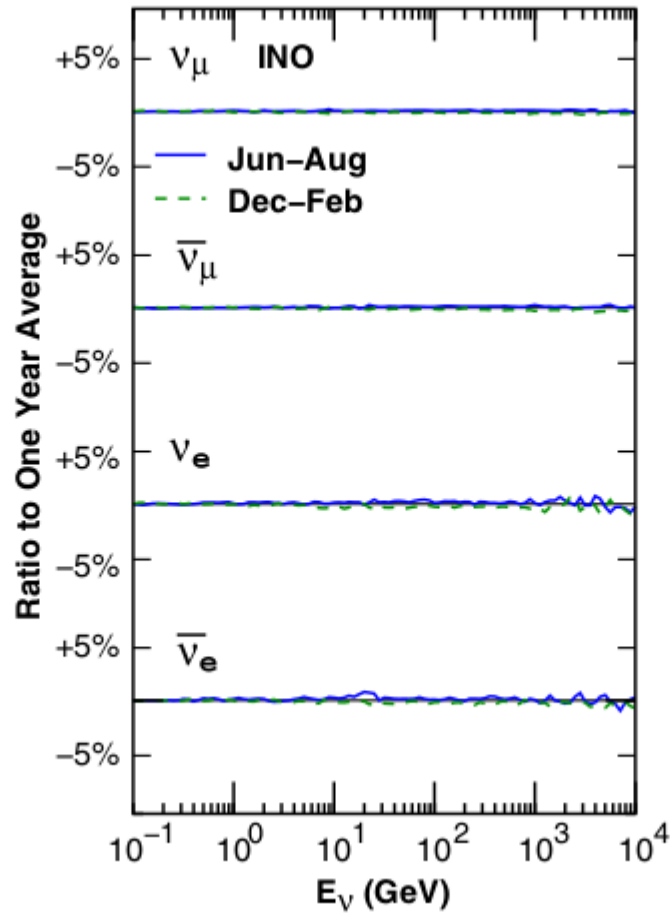


Seasonal Variation of Atmospheric Neutrino flux

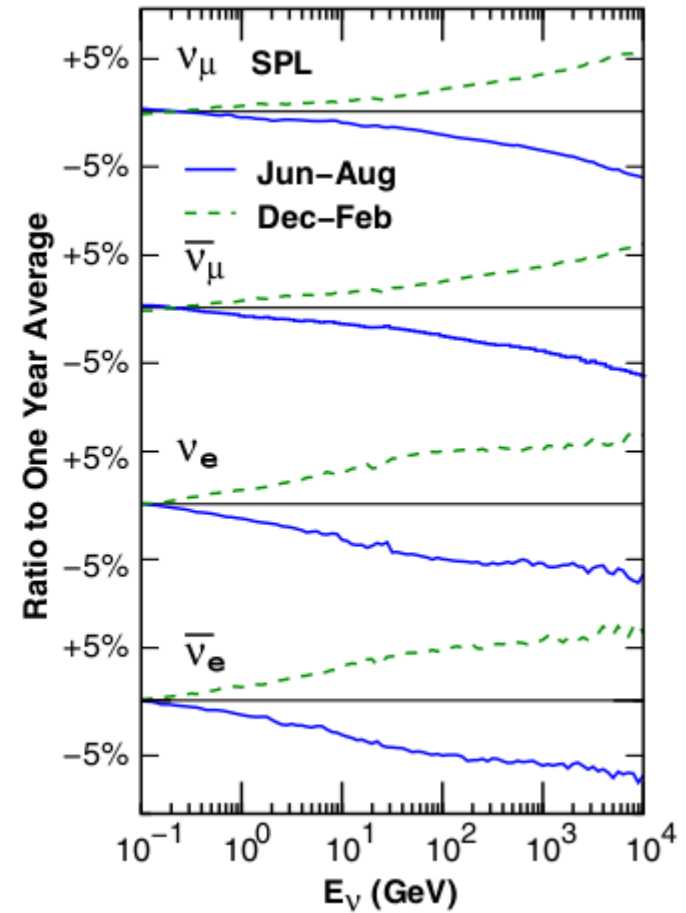
Kamioka



INO site

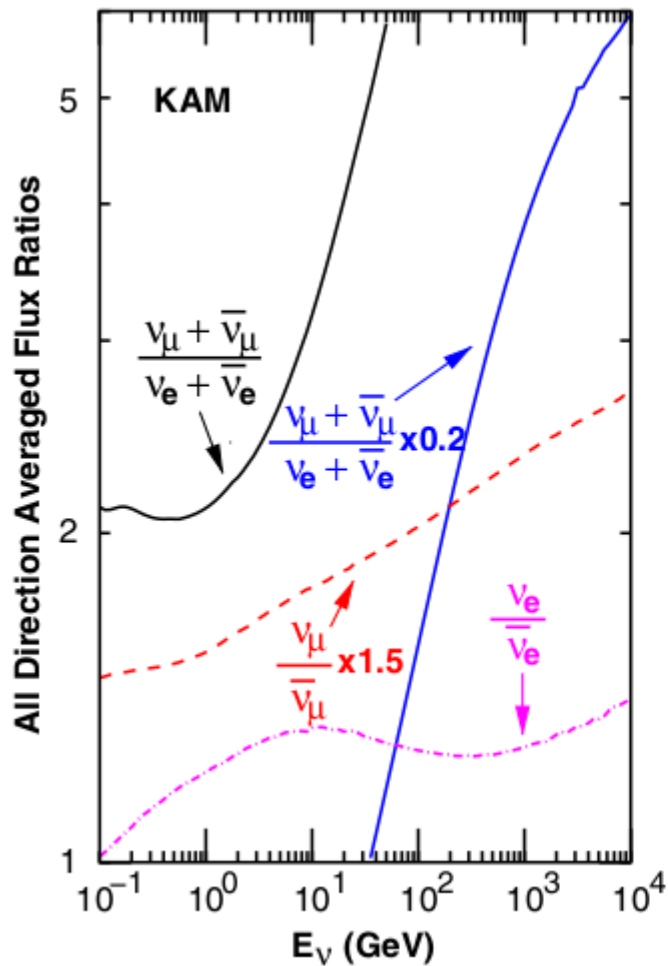


South Pole

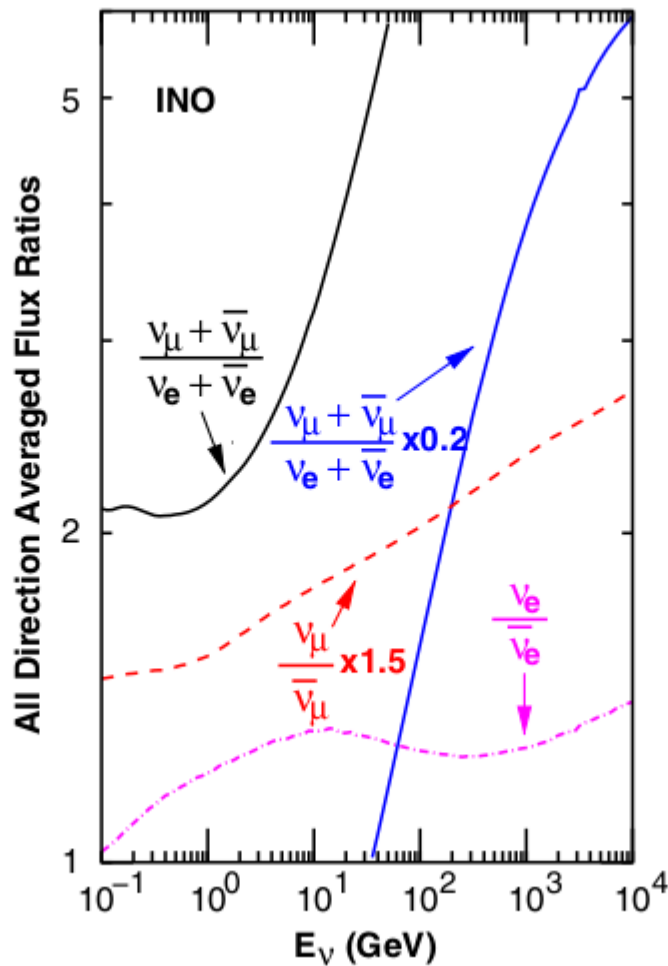


Flavor Ratios of Atmospheric Neutrino

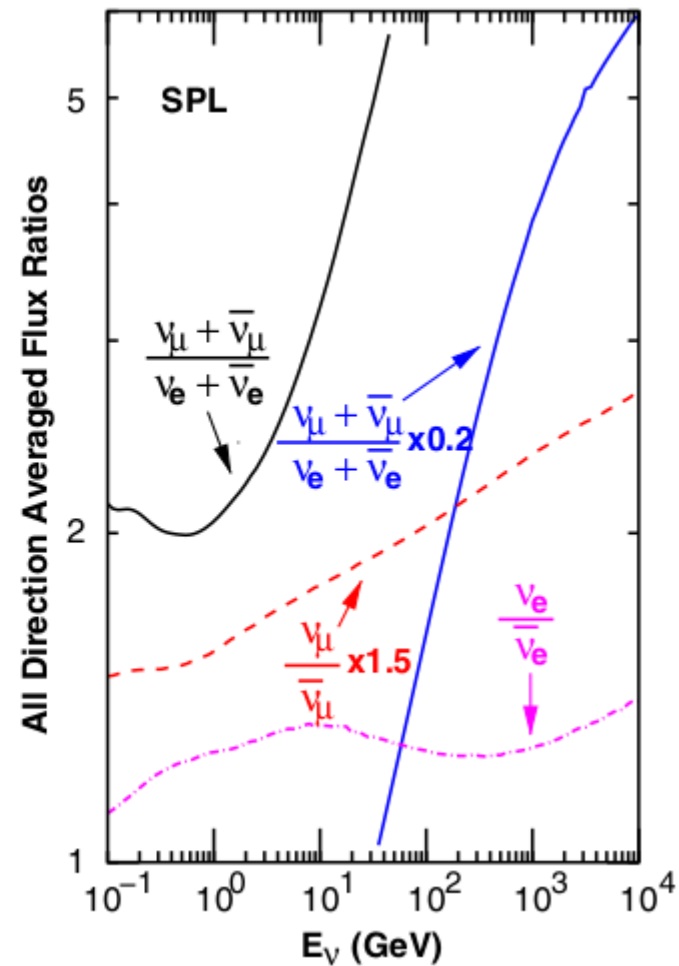
Kamioka



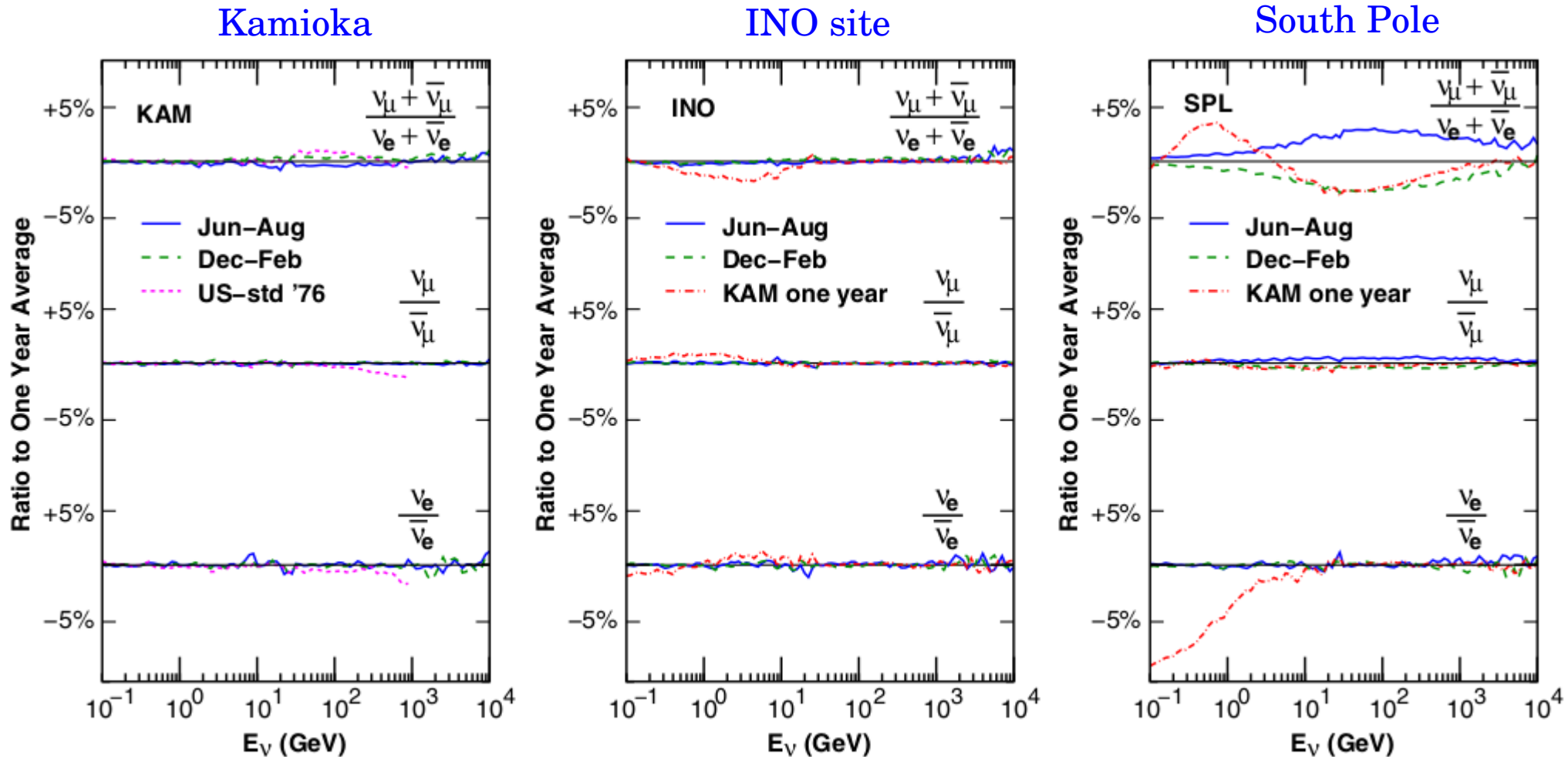
INO site



South Pole



Seasonal and Site Variation of Atmospheric Neutrino Flavor Ratios



The variation of $\frac{\nu_\mu + \bar{\nu}_\mu}{\nu_e + \bar{\nu}_e}$ at South Pole and the difference from Kamioka are almost equal to the largest estimation of its uncertainty.

Impact of AMS02



Photographed from a STA
(Shuttle Training Aircraft)



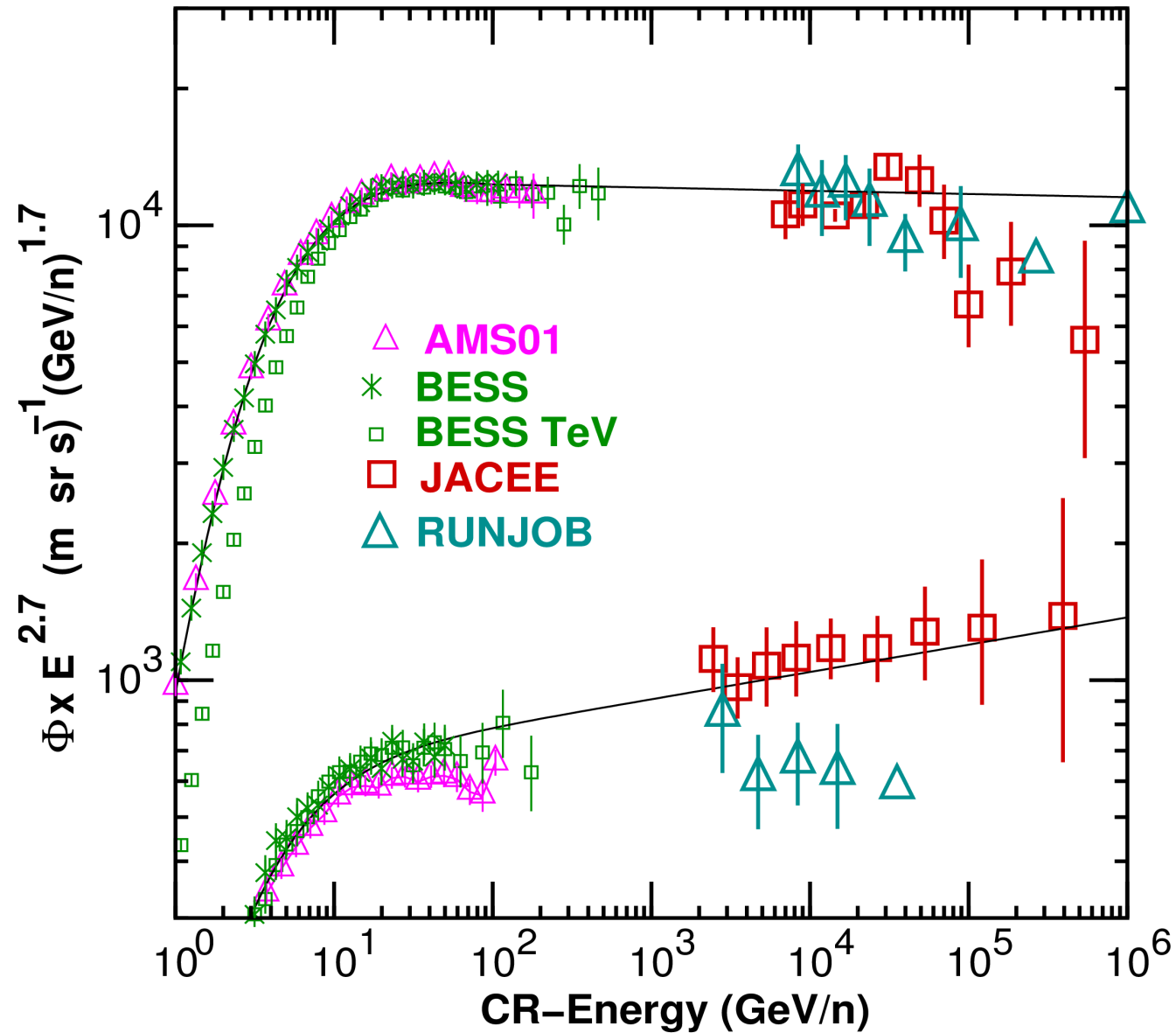
After 123 seconds,
1,000 tons of fuel
is spent.

and

BESS-polar

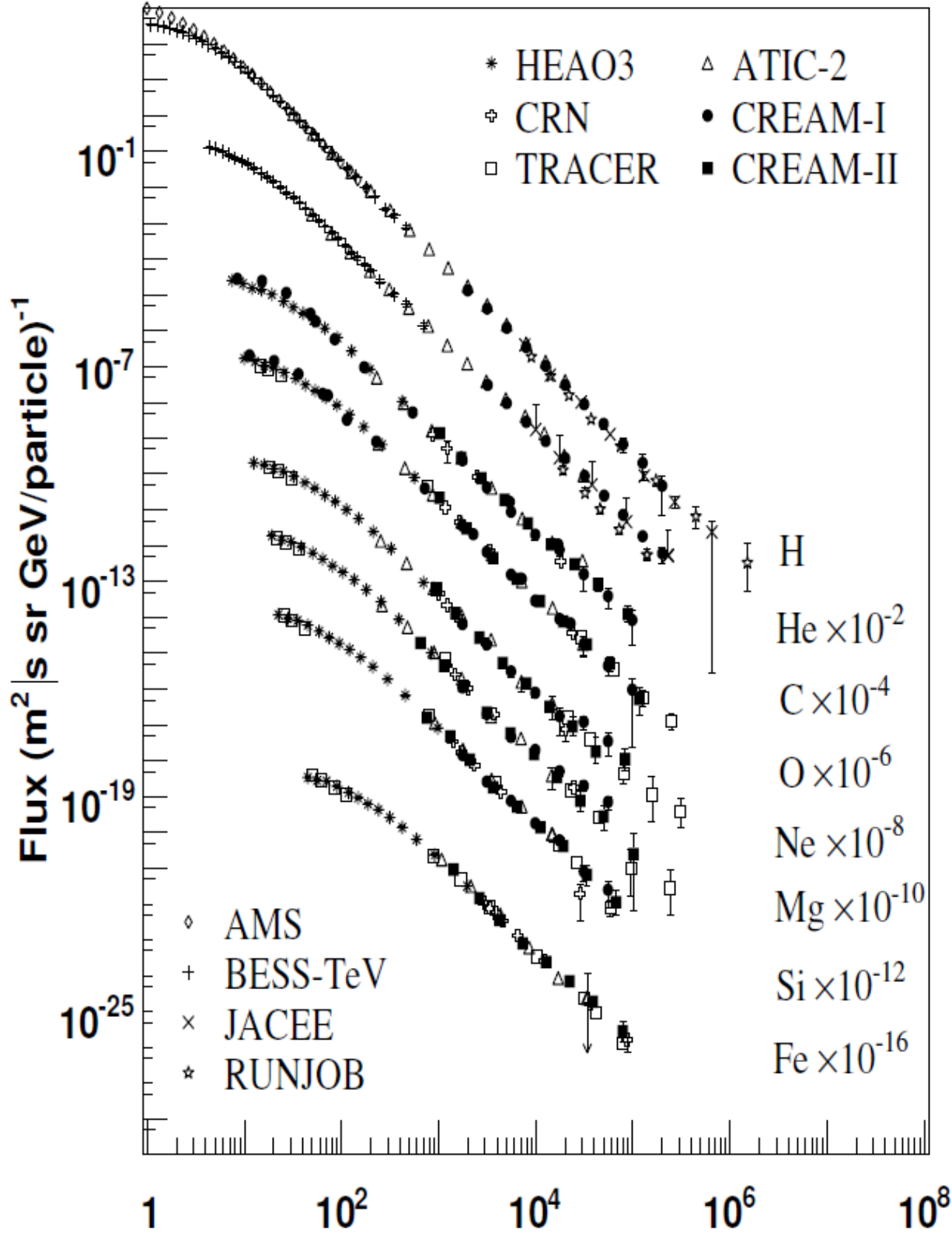


Our primary Cosmic Ray model and reference data

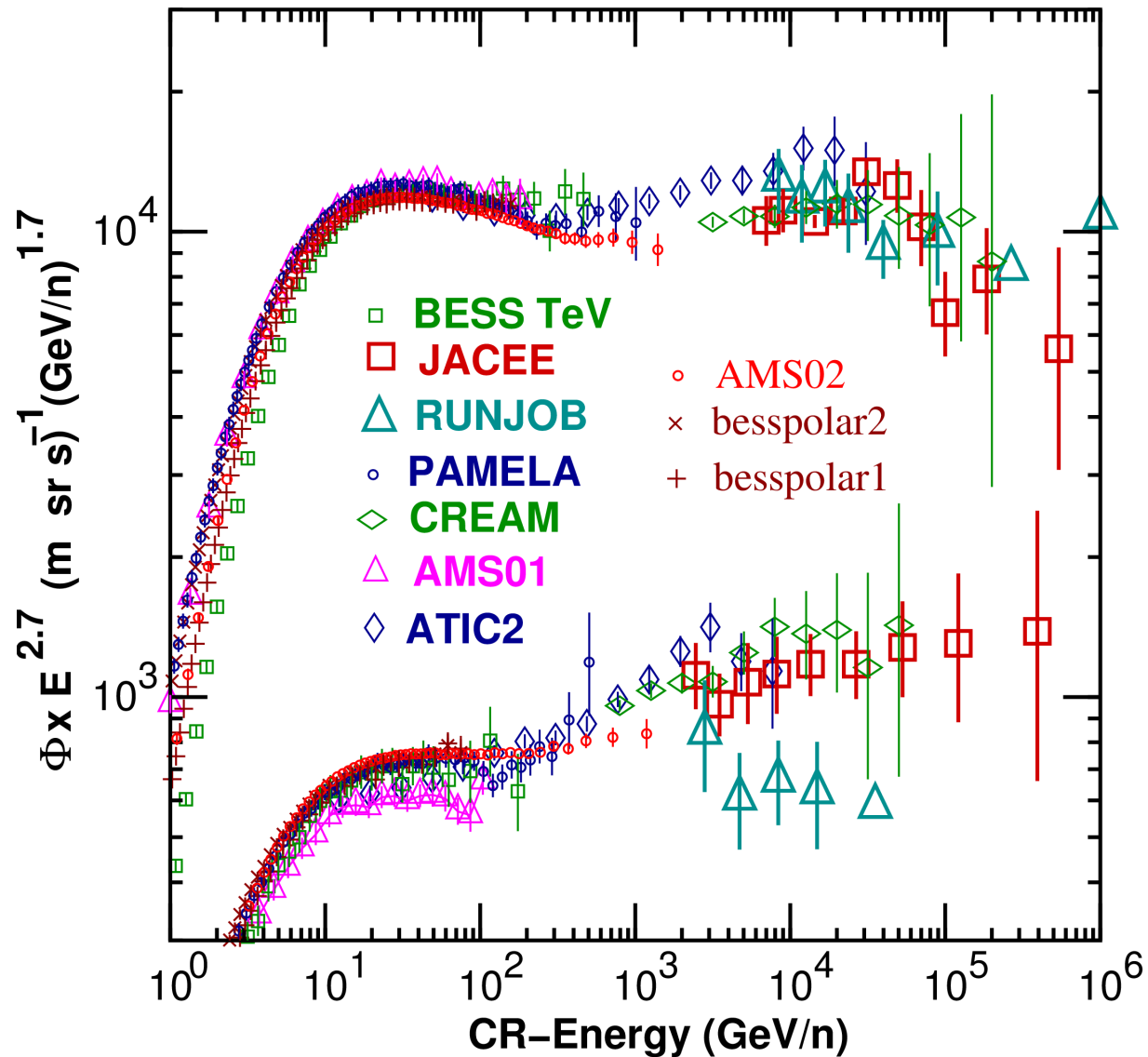


From
E.S. Seo @ ICRC2009

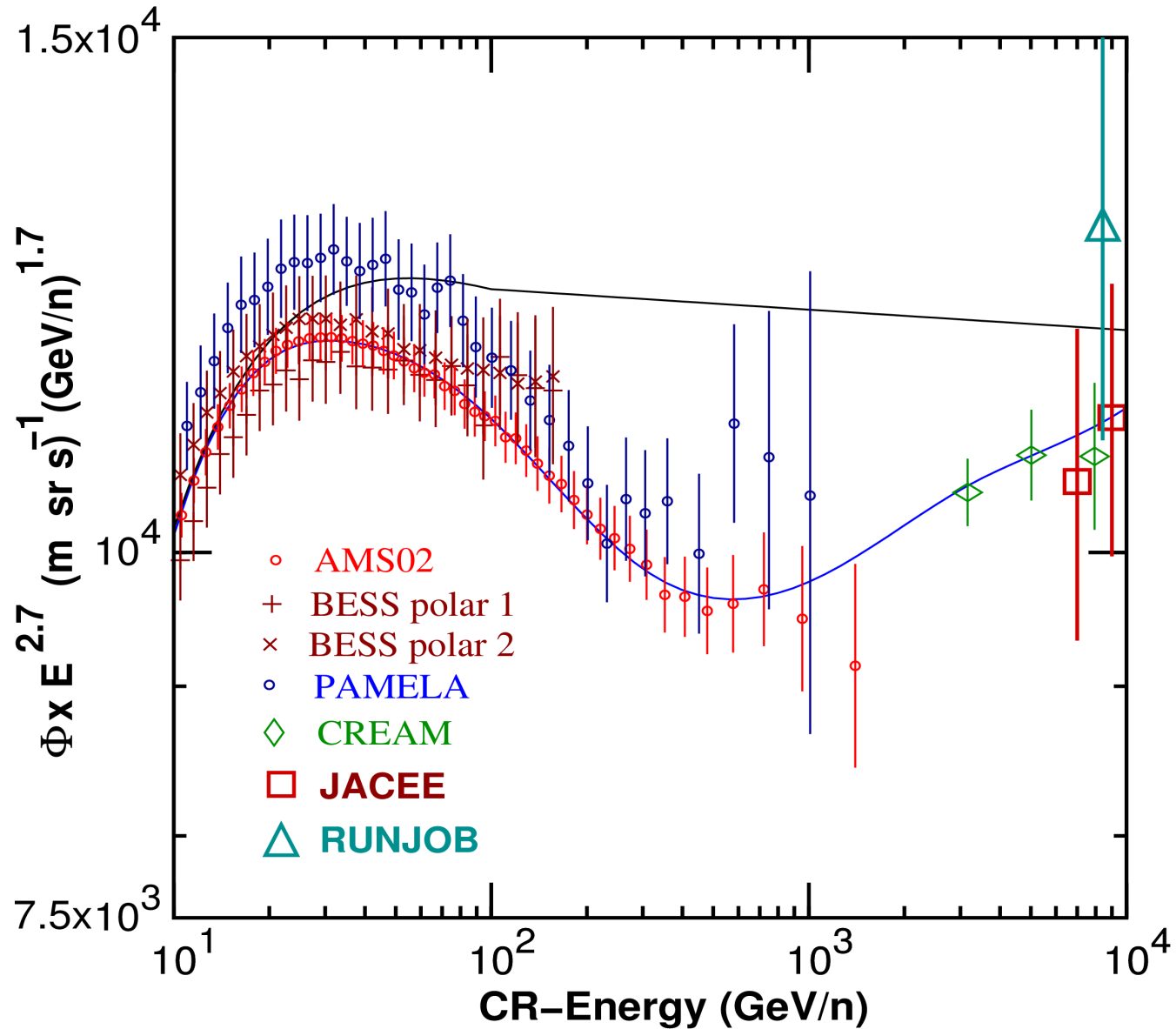
Other chemical compositions
are also considered in the
calculation, but they give
small contributions.



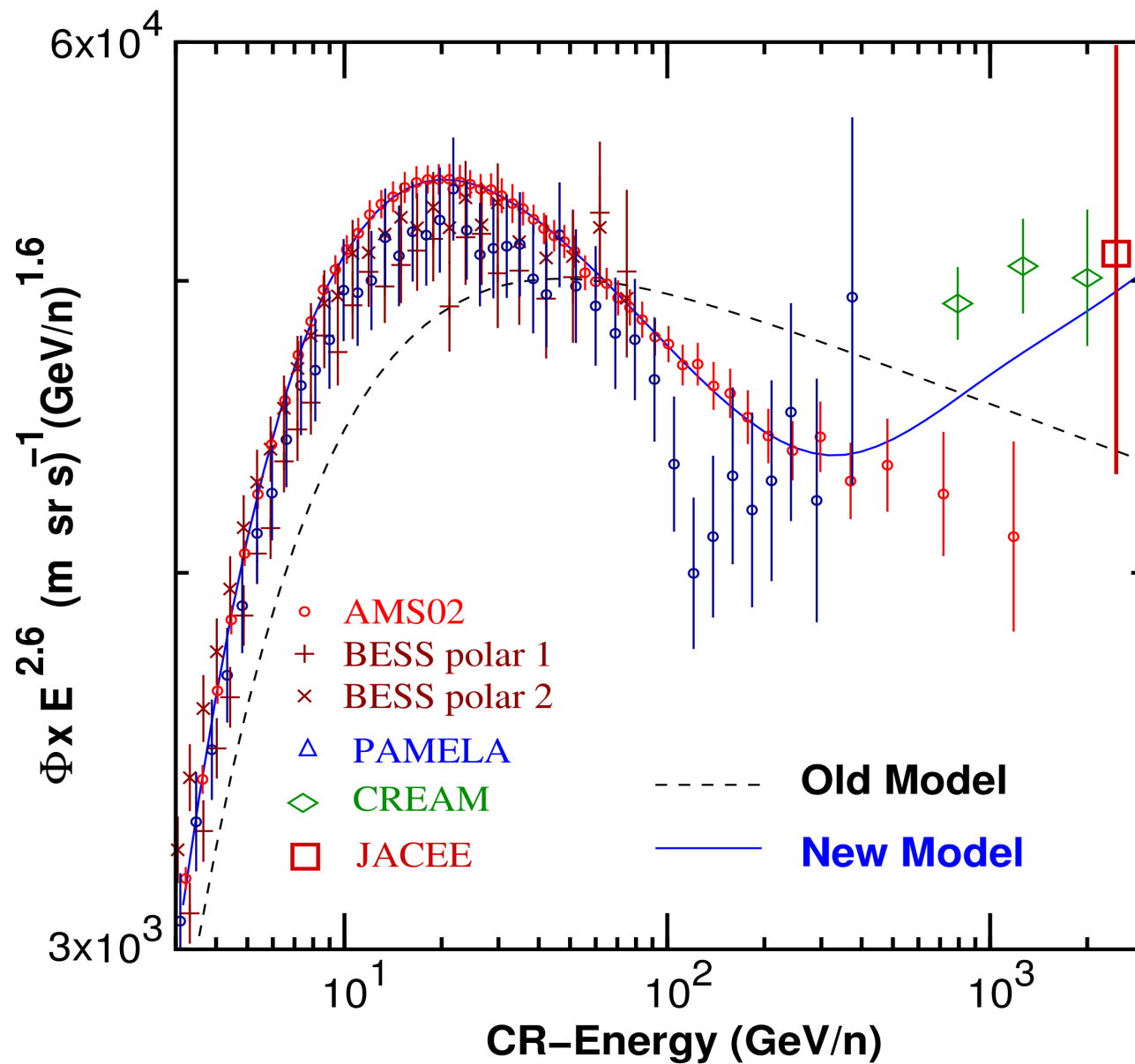
Recent Cosmic Ray observation and available High Energy data



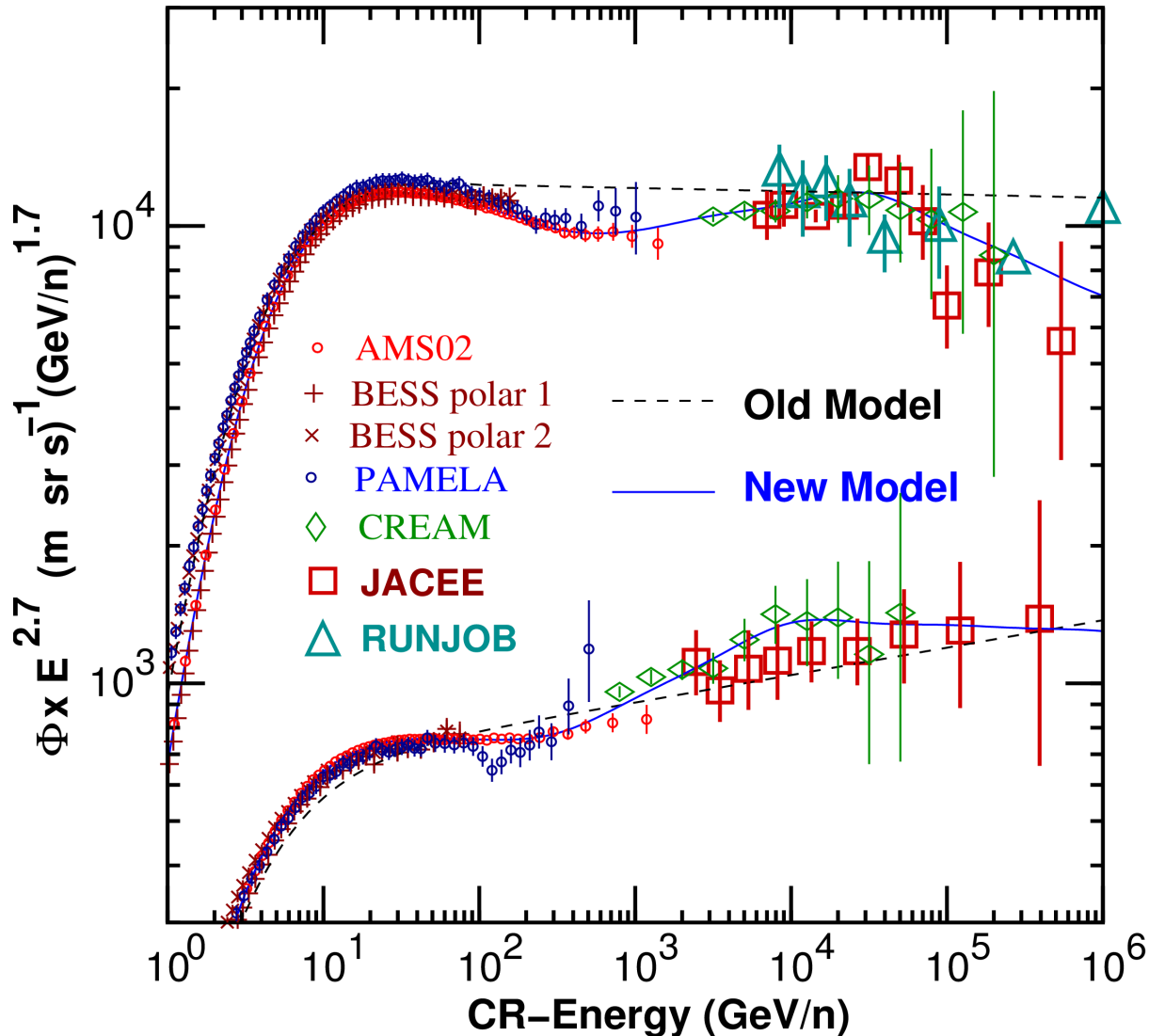
Proton closeup



Helium closeup

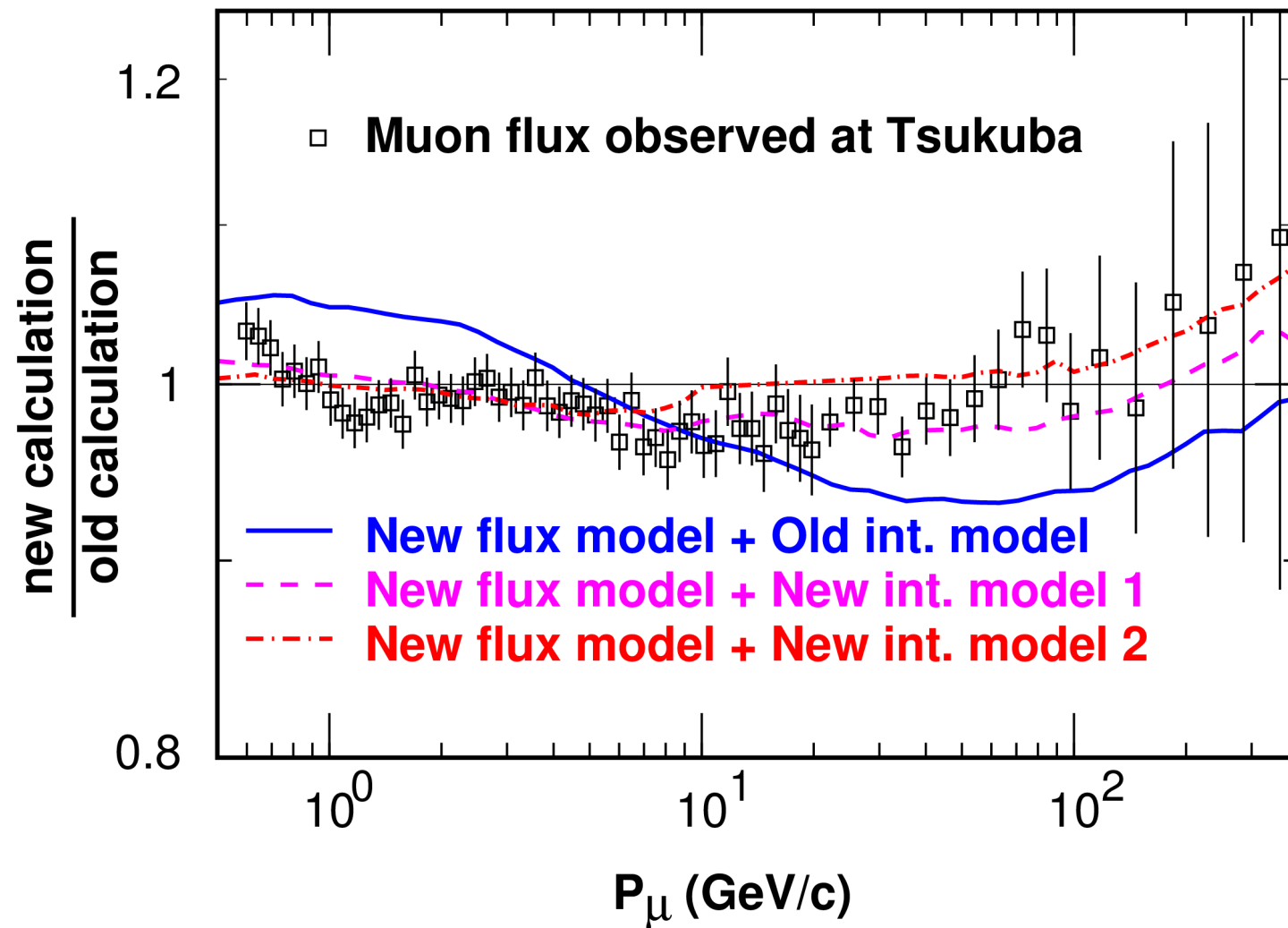


New Cosmic Ray Model with **AMS02** and **BESS-polar**

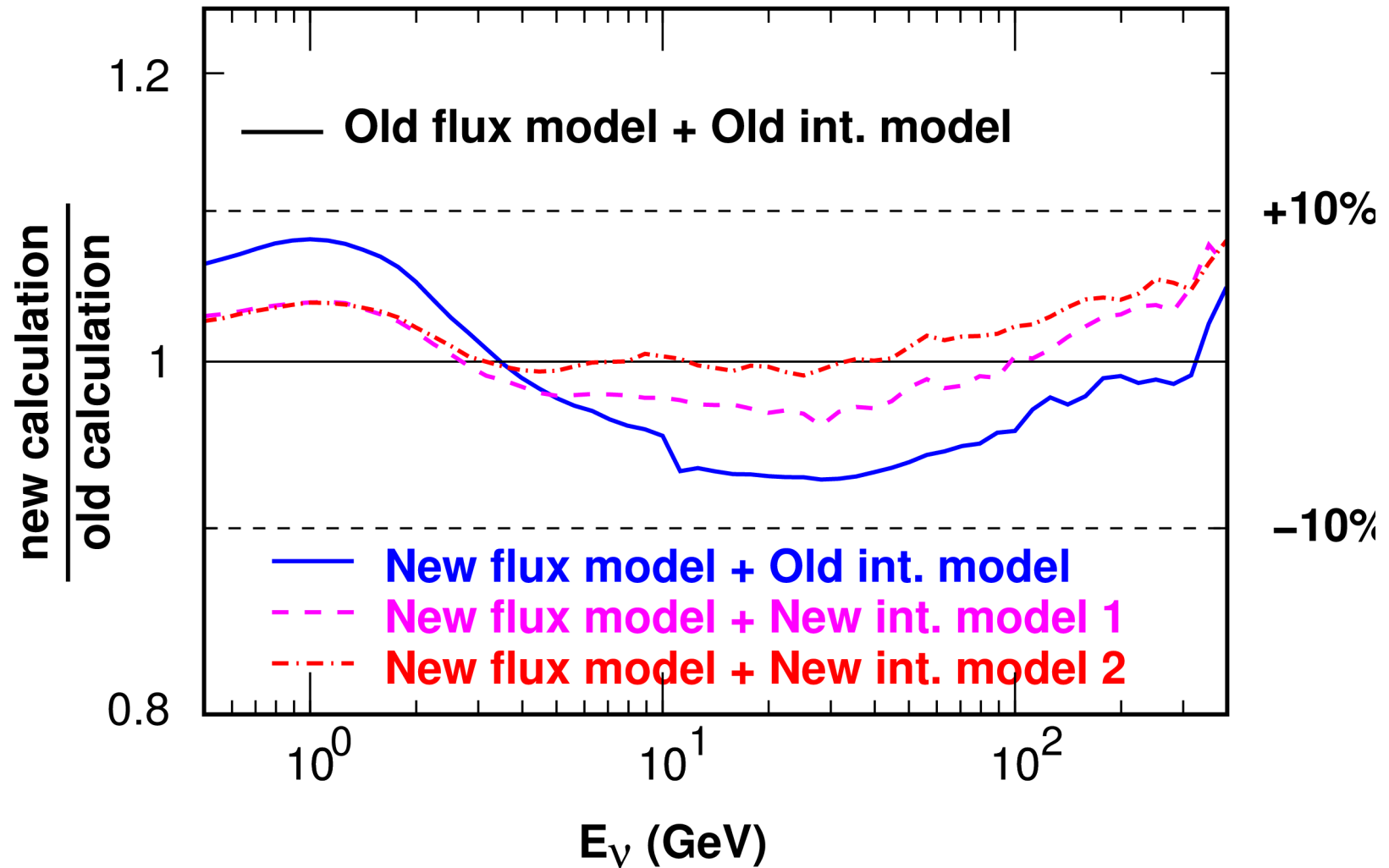


Discarded some data from model construction.

Muon Calibration of Interaction Model with New Cosmic Ray Model

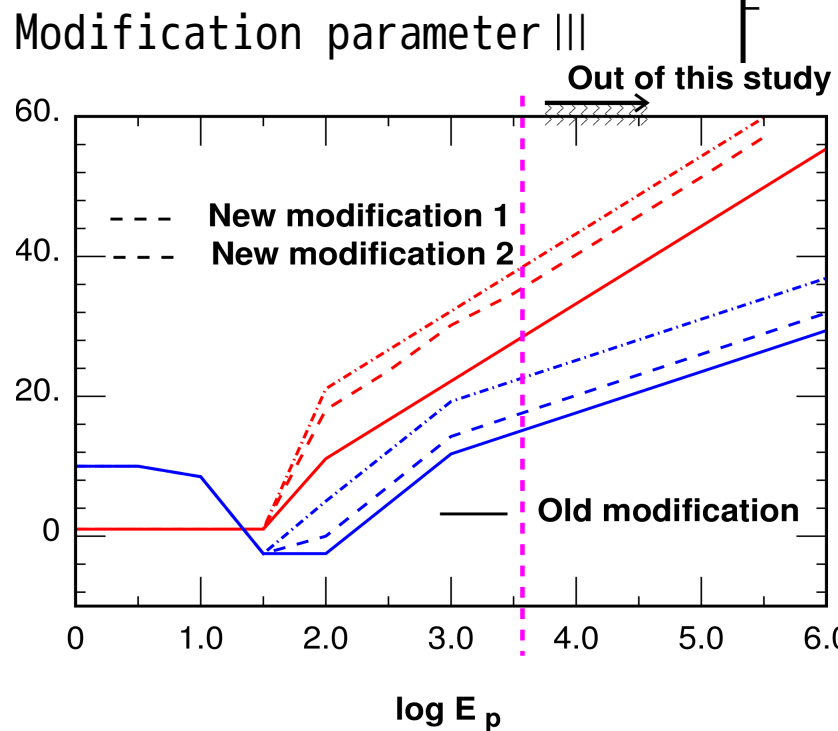
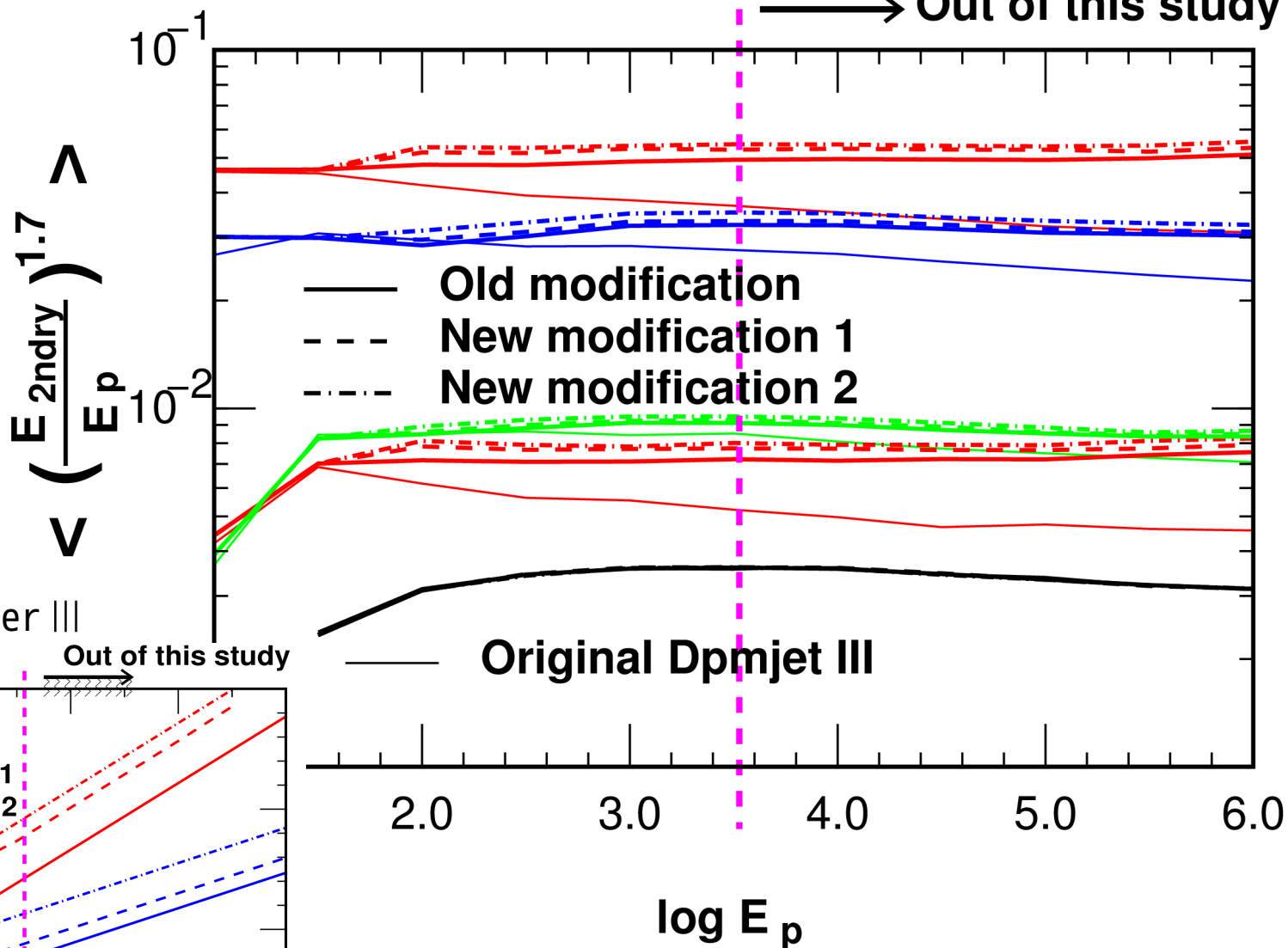


Resulting Neutrino Flux (all ν sum)

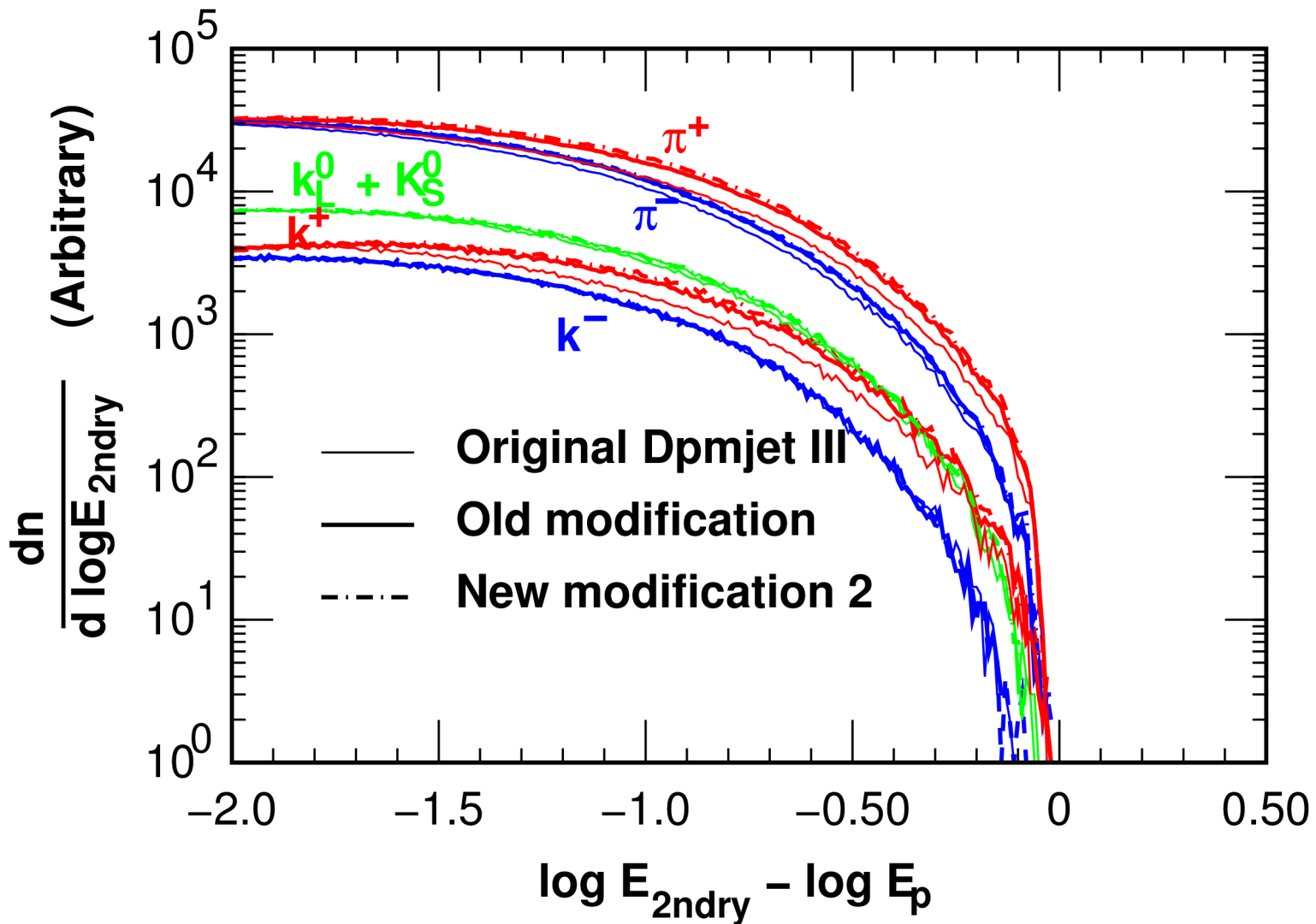


Muon calibration works !

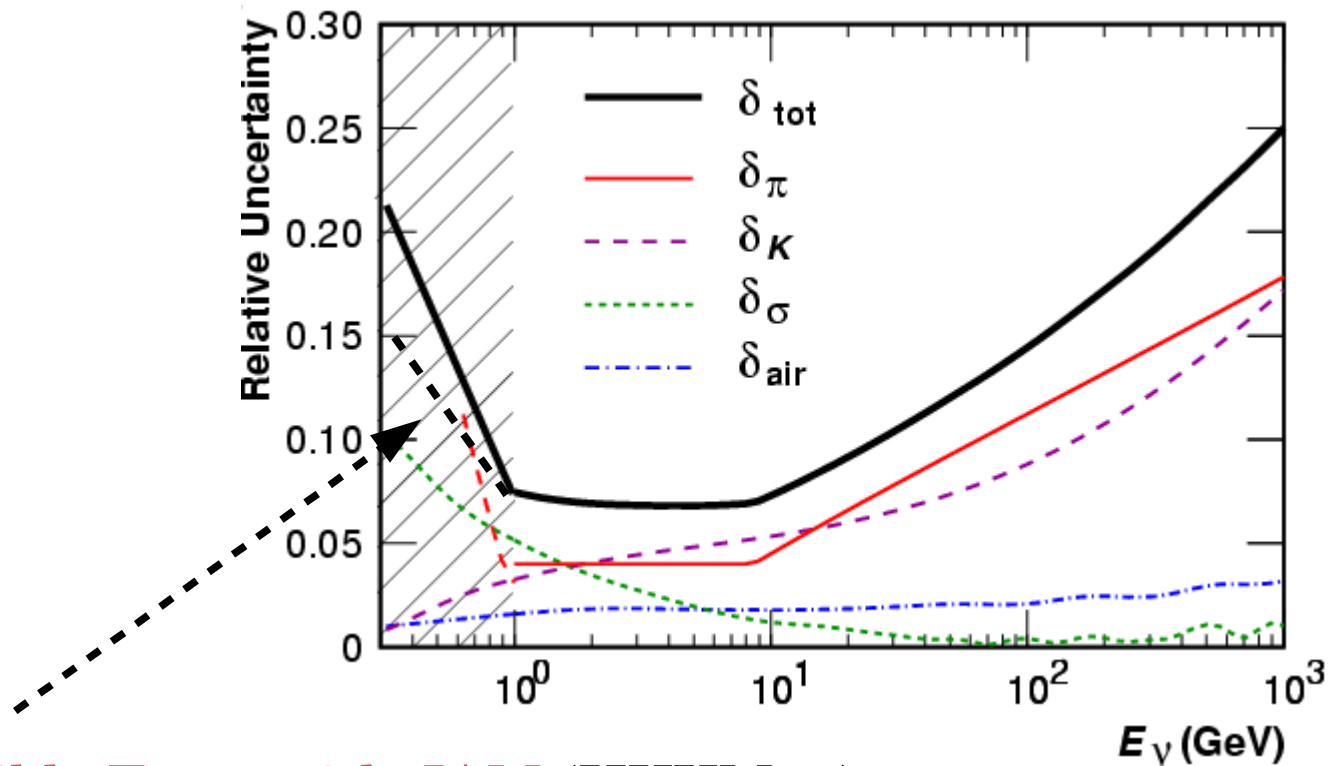
Comparison in Z-factor



Comparison of secondary spectra of interaction models at 1 TeV



Possible Error in Atmospheric ν -flux (HKKMS07)



Possible Error with JAM (HKKM11)

δ_π μ -observation error + Residual of reconstruction

δ_K Kaon production uncertainty

δ_σ Mean free path (interaction crosssection) uncertainty

δ_{air} Atmosphere density profile uncertainty

まとめ

- **NRLMSISE-00** 大気モデルにより、計算する対象を赤道から極地まで広げた。
- 極地での大気ニュートリノの季節変動は低エネルギーでも大きく、また $\frac{\nu_{\mu} + \bar{\nu}_{\mu}}{\nu_e + \bar{\nu}_e}$ 比も神岡とは数%異なり、その季節変化も大きい。
- **AMS02**、**CREAM**などの比較的新しい宇宙線観測は、水素原子核では500GeV付近、ヘリウム原子核では250GeV付近でスペクトラムの折れ曲がりを示唆している。これにより、我々の従来の一次宇宙線モデルと比較して、この折れ曲がり付近で最大20%ほど少ないフラックスが予想される。
- これは、従来の相互作用モデルをそのまま使用した場合、20~30GeVで~7%の大気ニュートリノの減少として表れる。
- しかし、観測された大気ミューオンのフラックスが再現されることを条件として計算すると、従来の大気ニュートリノフラックスとの差は、ほとんど無くなる。

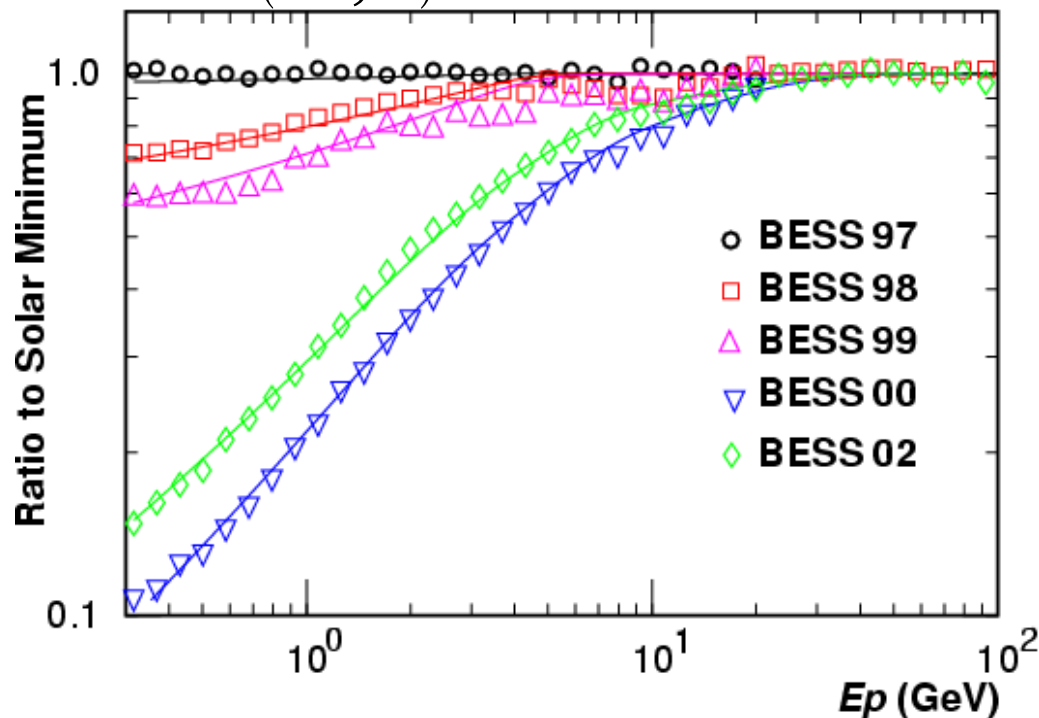
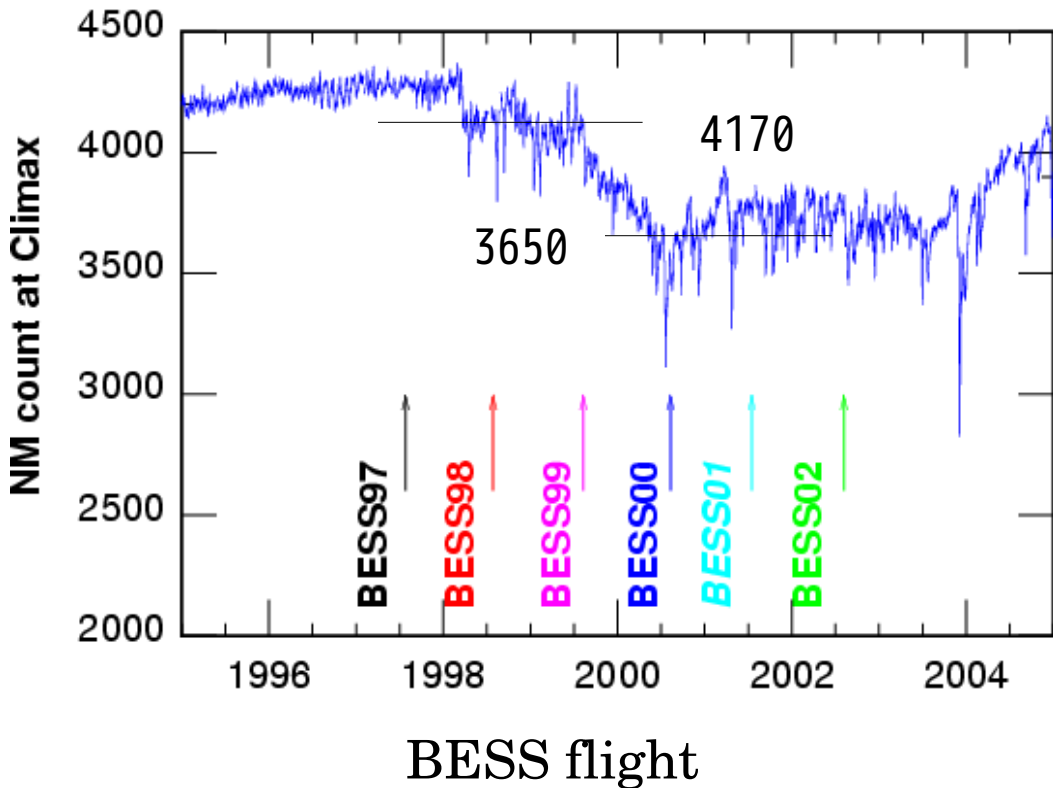
おまけ



今年度一番の成果！

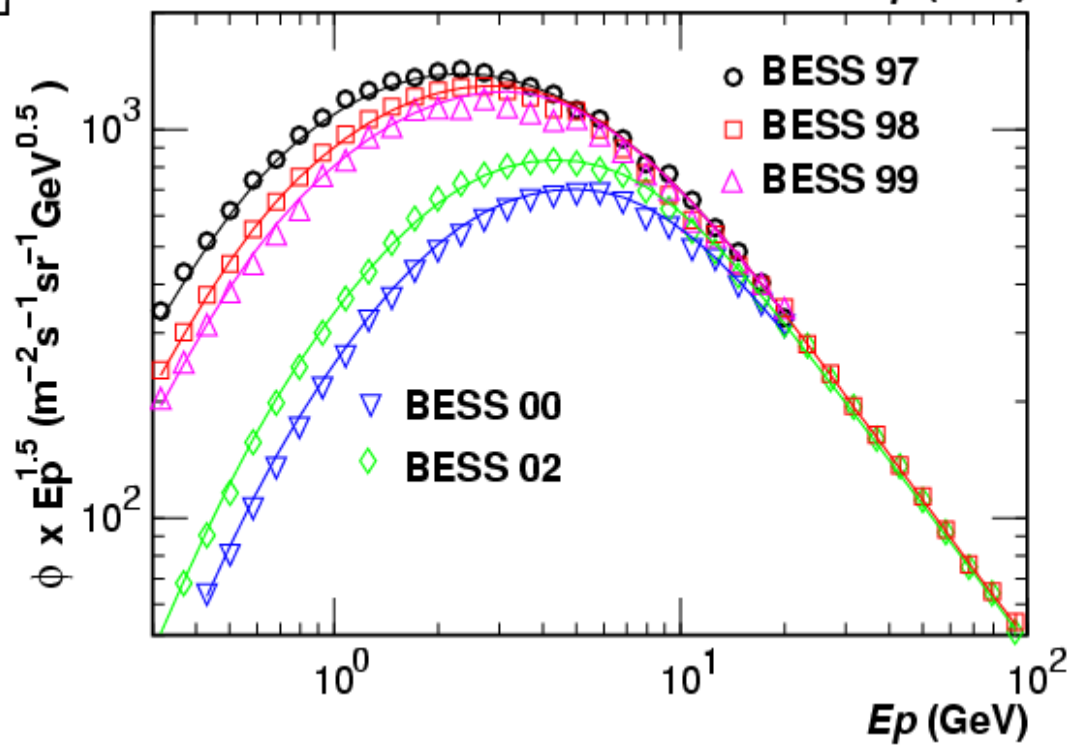
Solar Modulation of Primary Cosmic Rays and Atmospheric Neutrino

$M(N, r)$: modulation function



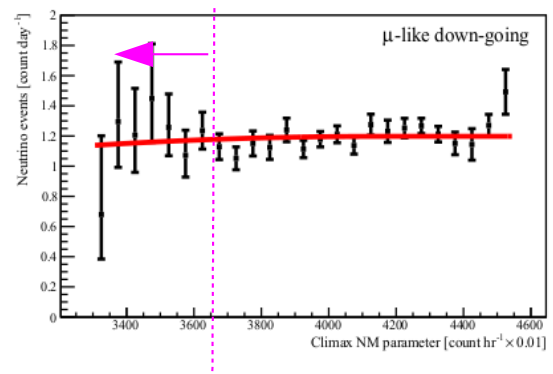
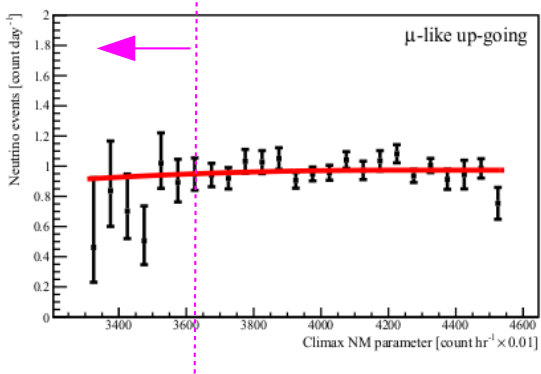
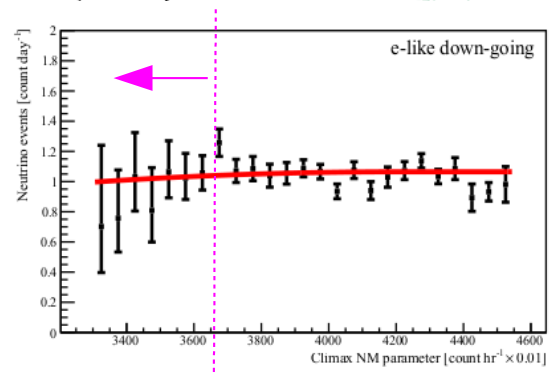
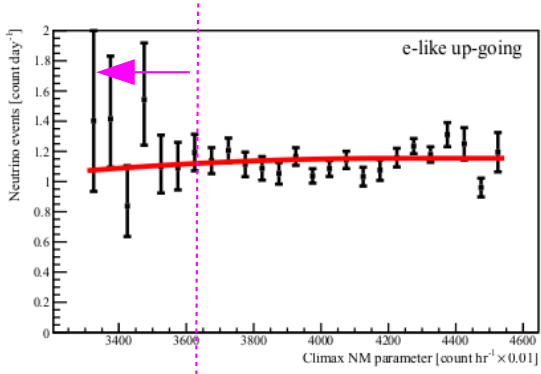
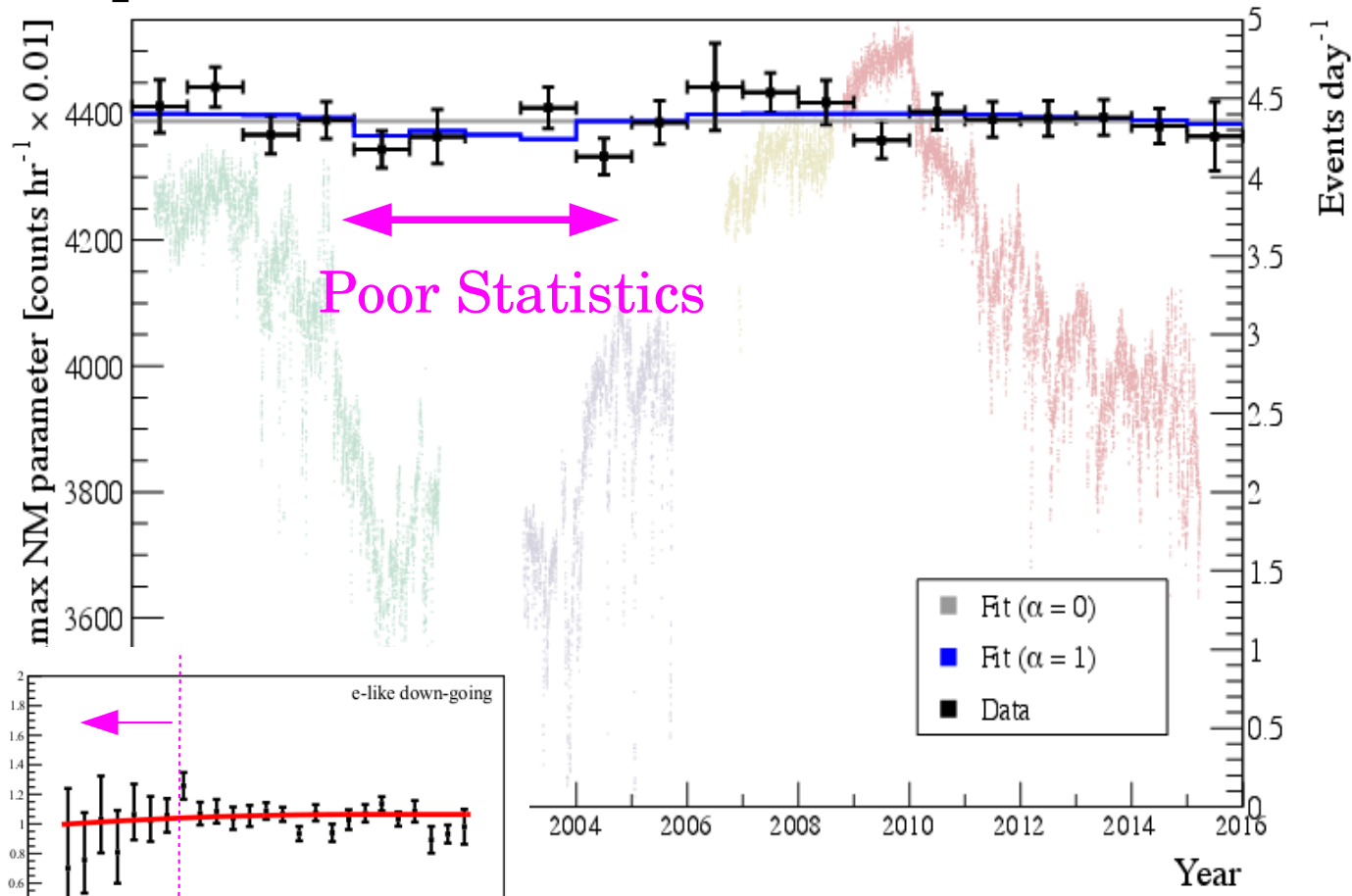
$$\phi_i(N, E_k) = \phi_i^{min}(E_k) \cdot M(N, r)$$

$$\phi_i^{min}(E_k) \equiv \phi_i^{1997}(E_k)$$



Solar Modulation of Atmospheric Neutrinos

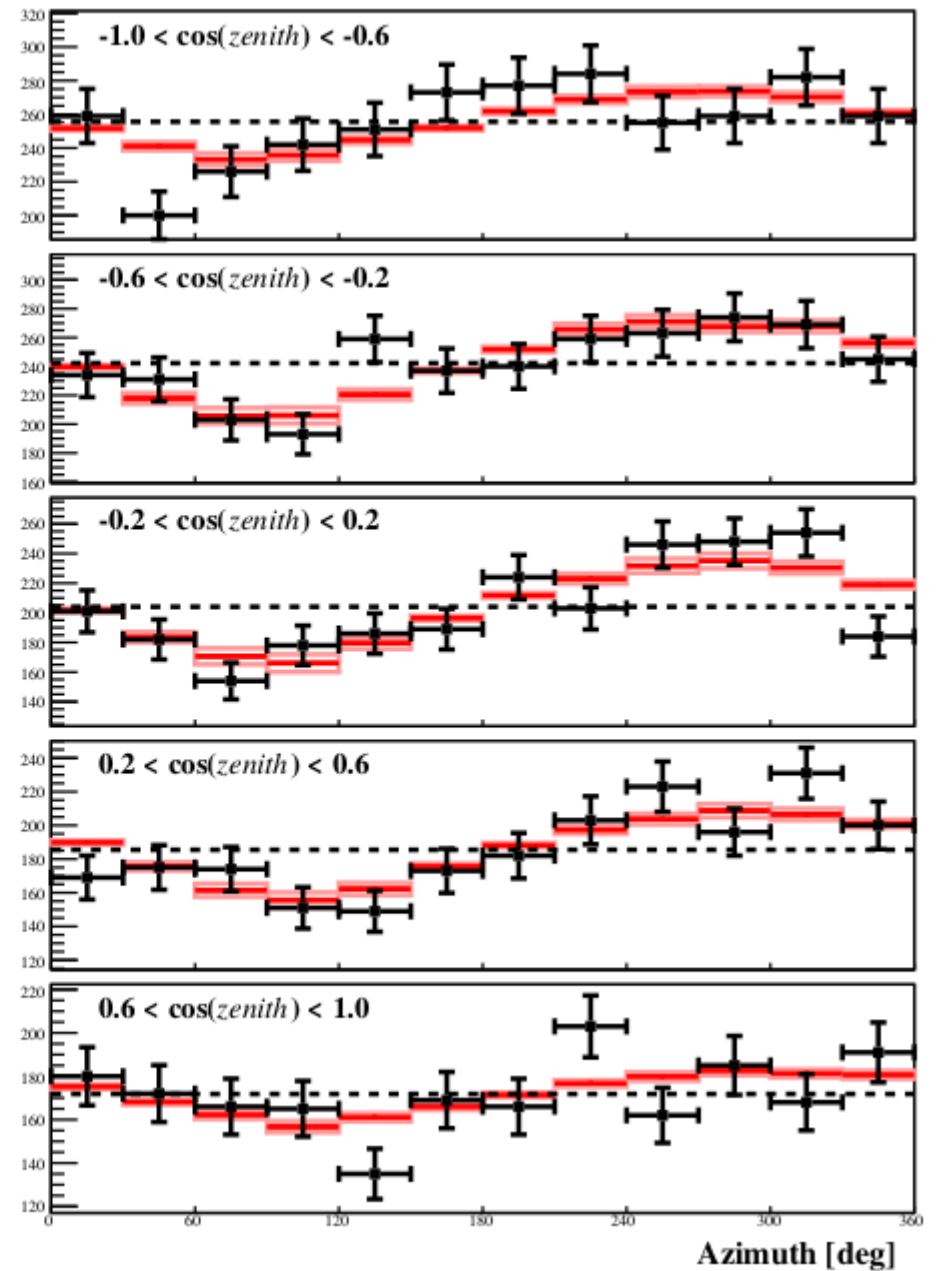
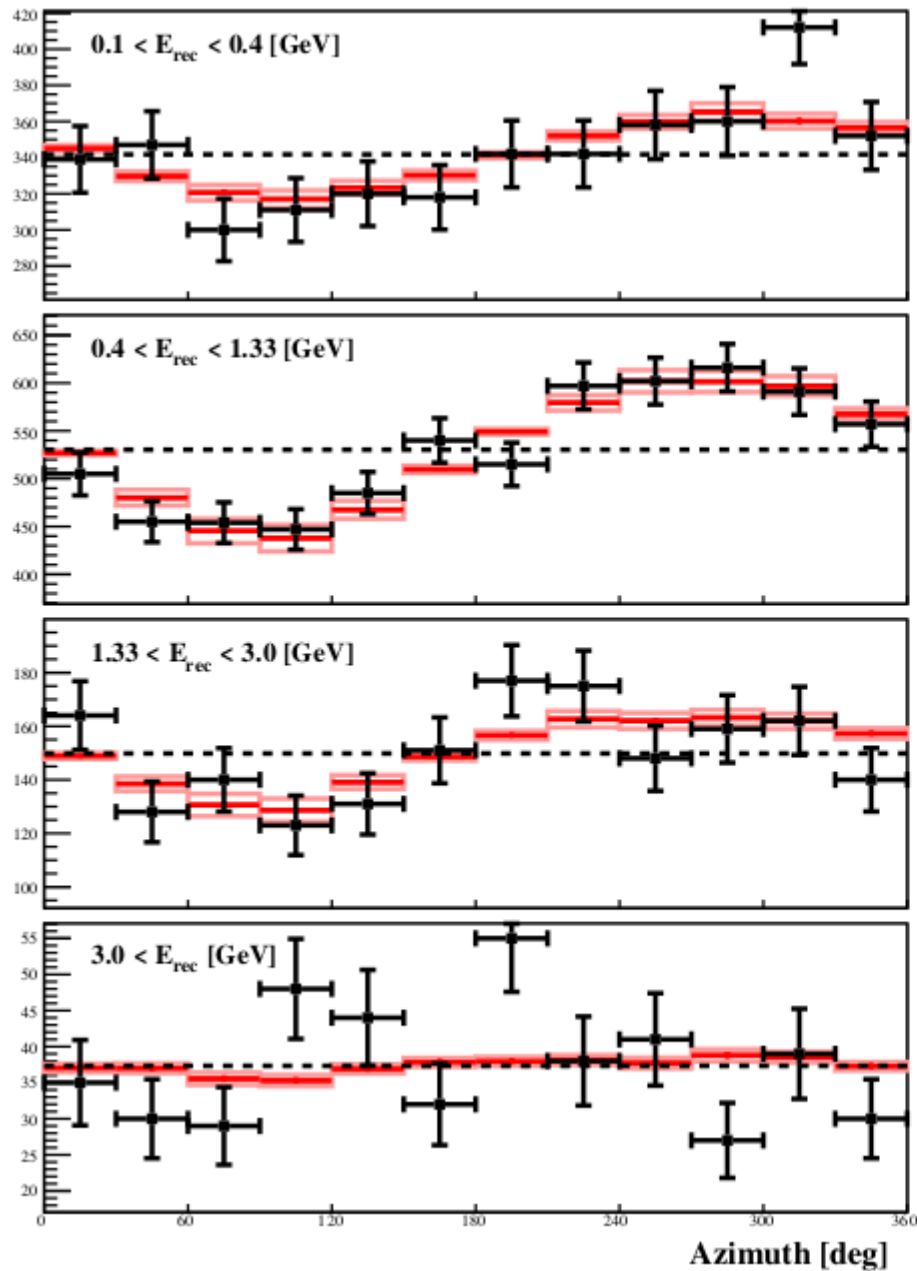
From PHD thesis of E. Richard



Best fit corresponds to **62%** of the predicted variations

Amplitude of variation is determined in the poor statistics region.

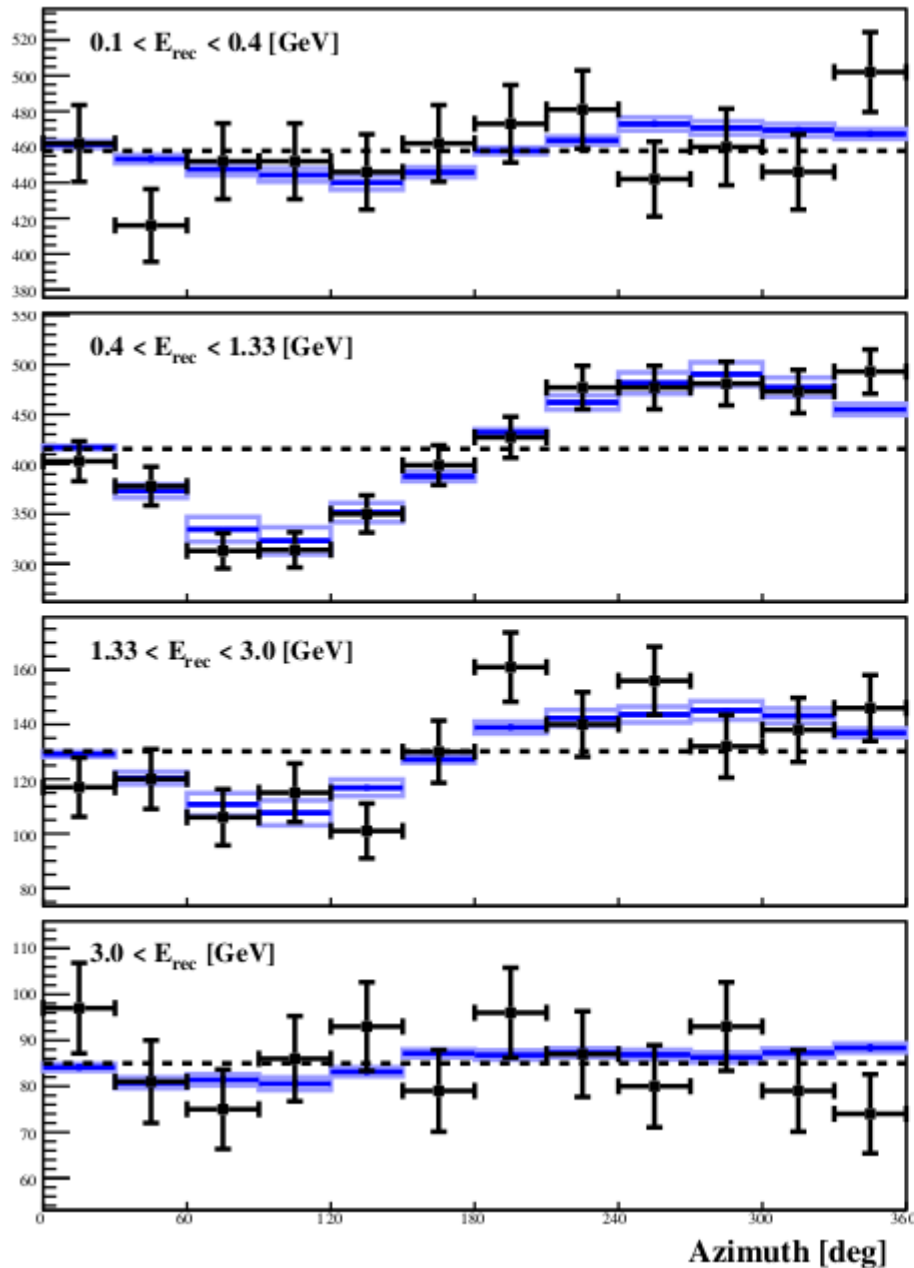
Observed Azimuthal Variation of ν_e flux (from PHD thesis of E.Richard)



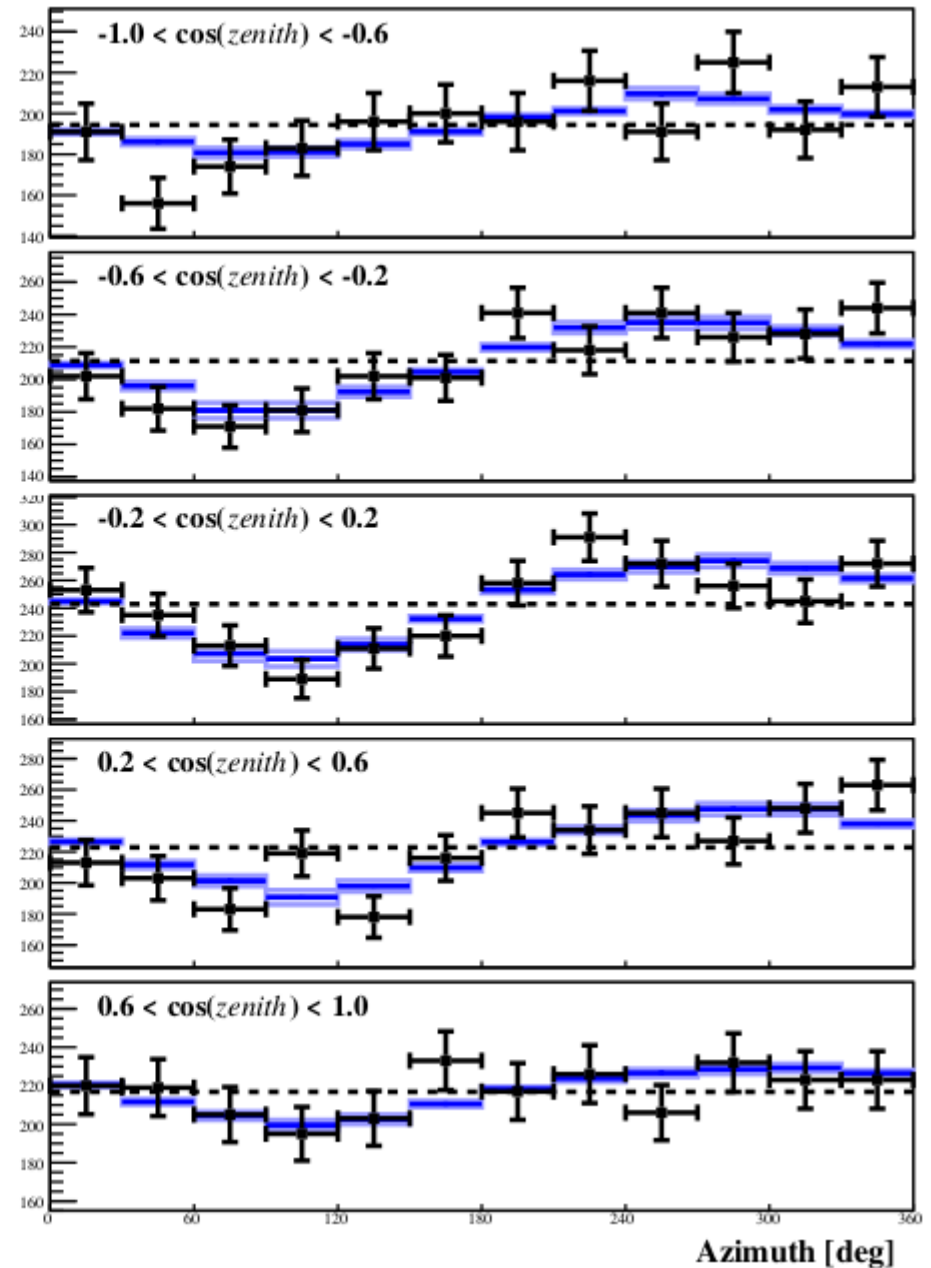
Energy Binned All Azimuth angles

Zenith Angle Binned All Energies

Observed Azimuthal Variation of ν_μ flux (from PHD thesis of E.Richard)



Energy Binned All Azimuth angles



Zenith Angle Binned All Energies

